



การพัฒนาแบบจำลองคณิตศาสตร์ของเครื่องยนต์สเตอร์ลิงทำงานที่ความแตกต่าง
อุณหภูมิต่ำด้วยการพิจารณาลักษณะการไหลแบบกลับไปกลับมาในรีเจนเนอเรเตอร์
ชนิดแถบโลหะบาง

Development of mathematical model of a Low temperature difference
Stirling engine with considering oscillating flow
in the foil-type regenerator

นายธนาตย์ ลือโสภา รหัสบัณฑิต 58362384

นายศิวกร คงคำเปา รหัสบัณฑิต 58362803

นายอัคนีรุทธ์ ผาลัย รหัสบัณฑิต 58362964

ปริญญาานิพนธ์นี้เป็นส่วนหนึ่งของการศึกษาหลักสูตรปริญญาวิศวกรรมศาสตรบัณฑิต

สาขาวิศวกรรมเครื่องกล ภาควิชาวิศวกรรมเครื่องกล

คณะวิศวกรรมศาสตร์ มหาวิทยาลัยนเรศวร

ปีการศึกษา 2561



ใบรับรองปริญญาโท

ชื่อหัวข้อโครงการ	การพัฒนาแบบจำลองคณิตศาสตร์ของเครื่องยนต์สเตอร์ลิงทำงานที่ความแตกต่างอุณหภูมิต่ำด้วยการพิจารณาลักษณะการไหลแบบกลับไปกลับมาในรีเจนเนอเรเตอร์ชนิดแถบโลหะบาง	
ผู้ดำเนินโครงการ	นายธนาตย์ ลือโสภา	รหัสนิสิต 58362384
	นายศิวกร คงคำเปา	รหัสนิสิต 58362803
	นายอัคนีรุทธ์ ผาลัย	รหัสนิสิต 58362964
ที่ปรึกษาโครงการ	ผู้ช่วยศาสตราจารย์ ดร. ขวัญชัย ไกรทอง	
สาขาวิชา	วิศวกรรมเครื่องกล	
ภาควิชา	วิศวกรรมเครื่องกล	
ปีการศึกษา	2561	

คณะวิศวกรรมศาสตร์ มหาวิทยาลัยนเรศวร อนุมัติให้ปริญญาโทฉบับนี้เป็นส่วนหนึ่งของการศึกษาตามหลักสูตรวิศวกรรมศาสตรบัณฑิต สาขาวิศวกรรมเครื่องกล

.....ที่ปรึกษาโครงการ
(ผู้ช่วยศาสตราจารย์ ดร. ขวัญชัย ไกรทอง)

.....กรรมการ
(ผู้ช่วยศาสตราจารย์ ดร. อนันต์ชัย อยู่แก้ว)

.....กรรมการ
(ผู้ช่วยศาสตราจารย์ ดร. นินนาท ราชประดิษฐ์)

ชื่อหัวข้อโครงการงาน	การพัฒนาแบบจำลองคณิตศาสตร์ของเครื่องยนต์สเตอร์ลิงทำงานที่ความแตกต่างอุณหภูมิต่ำด้วยการพิจารณาลักษณะการไหลแบบกลับไปกลับมาในรีเจนเนอเรเตอร์ชนิดแถบโลหะบาง	
ผู้ดำเนินโครงการงาน	นายธนาตย์ ลือโสภา	รหัสนิสิต 58362384
	นายศิวกร คงคำเปา	รหัสนิสิต 58362803
	นายอัคนีรุทธ์ ผาลัย	รหัสนิสิต 58362964
ที่ปรึกษาโครงการงาน	ผู้ช่วยศาสตราจารย์ ดร. ขวัญชัย ไกรทอง	
สาขาวิชา	วิศวกรรมเครื่องกล	
ภาควิชา	วิศวกรรมเครื่องกล	
ปีการศึกษา	2561	

บทคัดย่อ

วัตถุประสงค์ของงานวิจัยนี้คือ การพัฒนาแบบจำลองคณิตศาสตร์ของเครื่องยนต์สเตอร์ลิงแบบ Quasi steady flow model ขึ้นมาใหม่โดยการพิจารณาลักษณะการไหลแบบกลับไปกลับมาในรีเจนเนอเรเตอร์ชนิดแถบโลหะบางที่ทำจากโลหะสแตนเลส ในช่วงความเร็วรอบ 2-10 Hz และใช้สารทำงานเป็นอากาศที่ความดัน 1 bar ภายใต้สภาวะการทำงานที่อุณหภูมิของรีเจนเนอเรเตอร์มีค่าเท่ากับ 60-80 °C เพื่อใช้ในการสร้างสมการความสัมพันธ์ของค่าสัมประสิทธิ์ความเสียหายภายใต้การไหลแบบกลับไปกลับมาและคำนวณค่าความดันลดที่เกิดขึ้นในรีเจนเนอเรเตอร์ด้วยแบบจำลองทางคณิตศาสตร์ ที่พิจารณาผลการเปลี่ยนแปลงความดันแบบเป็นคาบในรีเจนเนอเรเตอร์

จากผลการทดสอบสามารถสร้างชุดสมการความสัมพันธ์ของค่าสัมประสิทธิ์ความเสียหายภายใต้การไหลแบบกลับไปกลับมาในรีเจนเนอเรเตอร์และค่าตัวแปร Breathing จากนั้นเมื่อนำไปประยุกต์ใช้กับแบบจำลองทางคณิตศาสตร์ที่คำนึงถึงผลของการไหลแบบกลับไปกลับมาในรีเจนเนอเรเตอร์ที่พัฒนาขึ้น พบว่ามีความผิดพลาดในการทำนายความดันลด ซึ่งส่งผลกระทบต่อการทำนายกำลังเพลาของเครื่องยนต์ที่ต่ำกว่าผลทดสอบเมื่อเปรียบเทียบกับผลการทดสอบสมรรถนะของเครื่องยนต์สเตอร์ลิงทำงานที่ความแตกต่างอุณหภูมิต่ำ ซึ่งอาจมาจากการทำนายสภาวะการทำงานของเครื่องยนต์นอกช่วงของค่าเรโนลด์นัมเบอร์ในสมการความสัมพันธ์ที่พัฒนาขึ้น

Project title	Development of mathematical model of a Low temperature difference Stirling engine with considering oscillating flow in the foil-type regenerator	
Name	Mr. Thanat Luesopa	ID : 58362384
	Mr. Siwakorn Khongkhampao	ID : 58362803
	Mr. Aukkaneerut Phalai	ID : 58362964
Project advisor	Asst. Prof. Kwanchai Kraitong	
Major	Mechanical Engineering	
Department	Mechanical Engineering	
Academic year	2018	



Abstract

The objective of this study is development of quasi steady flow mathematical model with the consideration of oscillating flow under pulsating pressure condition in regenerator foil-type. The matrix made from stainless steel foil regenerators were tested at the engine speed of 2-10 Hz. Air as working fluid under the operating pressure of 1 bar was performed at the fluid temperature of the regenerator between 60-80 C° in order to develop a set of the correlation equations of friction coefficient under oscillating flow of the regenerator

From the experimental results, a set of the correlation equations of friction coefficient under oscillating flow of the regenerator and the correlation equation of Breathing factor were developed and applied to the developed mathematical model considering the oscillating flow in the regenerator of a low temperature difference Stirling engine. It was found that an error of the predicted pressure drop in the regenerator. It caused the lower predicted shaft power when compared to the experimental shaft power of a LTD Stirling engine. It was because of the simulation applied to the engine operating condition being out of Reynolds number range of the developed friction coefficient correlation equations.

กิตติกรรมประกาศ

วิทยานิพนธ์ฉบับนี้ประสบความสำเร็จลุล่วงได้ด้วยความกรุณาอย่างยิ่งจากผู้ช่วยศาสตราจารย์ ดร. ขวัญชัย ไกรทอง ซึ่งเป็นประธานที่ปรึกษาวิทยานิพนธ์ ดร.สุเมธ เหมะวัฒนะชัย และนายณัฐกุล เจียมศักดิ์ ที่ให้คำปรึกษาการทำวิทยานิพนธ์มาตลอด จนวิทยานิพนธ์ฉบับนี้เสร็จสมบูรณ์ ผู้วิจัยขอกราบพระคุณเป็นอย่างยิ่ง

ขอขอบพระคุณเจ้าหน้าที่ห้องปฏิบัติการในภาควิชาวิศวกรรมเครื่องกล คณะวิศวกรรมศาสตร์ มหาวิทยาลัยนเรศวรทุกท่าน ที่ให้ความอนุเคราะห์ด้านเครื่องมือ และอำนวยความสะดวกในการใช้ห้องปฏิบัติการตลอดการวิจัยอย่างดี

สุดท้ายนี้ขอกราบขอบพระคุณบิดา มารดา ที่ให้คำปรึกษาในเรื่องต่างๆ ให้การสนับสนุนในทุกๆ ด้าน รวมทั้งเป็นกำลังใจที่ดีเสมอมา จนทำให้วิทยานิพนธ์ฉบับนี้สำเร็จลุล่วง

คุณค่าและคุณประโยชน์จากวิทยานิพนธ์ฉบับนี้ ผู้วิจัยขอมอบ และอุทิศแด่ผู้มีพระคุณทุกท่าน



ผู้ดำเนินโครงการ

นายธนาตย์ ลือโสภา

นายศิวกร คงคำเปา

นายอัคนีรุทธ์ ผาลัย

สารบัญ

ชื่อเรื่อง	หน้า
บทคัดย่อ.....	ข
Abstract.....	ค
กิตติกรรมประกาศ.....	ง
สารบัญ.....	จ
สารบัญตาราง.....	ช
สารบัญภาพ.....	ซ
อักษรย่อ.....	ฅ
บทที่ 1 บทนำ.....	1
1.1 ความเป็นมาและความสำคัญของโครงการ.....	1
1.2 ความมุ่งหมายการวิจัย.....	4
1.3 ขอบเขตของการวิจัย.....	4
1.4 ประโยชน์ที่คาดว่าจะได้รับ.....	5
1.5 แผนการดำเนินงาน.....	5
1.6 งบประมาณ.....	6
บทที่ 2 ทฤษฎีและงานวิจัยที่เกี่ยวข้อง.....	7
2.1 วัฏจักรทางเทอร์โมไดนามิกส์ของเครื่องยนต์สเตอร์ลิง.....	7
2.2 การหาค่าสัมประสิทธิ์การไหลในรีเจนเนอเรเตอร์.....	9
2.2.1 การไหลในรีเจนเนอเรเตอร์และการไหลแบบกลับไปกลับมา.....	9
2.2.2 สมการความสัมพันธ์ของค่าสัมประสิทธิ์แรงเสียดทานการไหลแบบกลับไปกลับมาในรีเจนเนอเรเตอร์.....	11
2.3 แบบจำลองทางกายภาพ.....	15

สารบัญ (ต่อ)

ชื่อเรื่อง	หน้า
บทที่ 3 วิธีดำเนินงานวิจัย.....	18
3.1 การทดลองหาสมการความสัมพันธ์ของค่าความสัมพันธ์สัมประสิทธิ์ความเสียหายภายใต้การไหลแบบกลับไปกลับมา.....	18
3.1.1 การพัฒนาชุดทดสอบการไหลในรีเจนเนอเรเตอร์.....	18
3.1.2 วิธีการทดลอง.....	24
3.2 แบบจำลองคณิตศาสตร์ของเครื่องยนต์สเตอร์ลิงที่คำนึงถึงการไหลแบบกลับไปกลับมา.....	28
บทที่ 4 ผลการวิจัย.....	46
4.1 ผลการทดลองจากชุดทดสอบการไหลในรีเจนเนอเรเตอร์.....	46
4.1.1 การเคลื่อนเฟสของตัวแปรการทำงานของสารทำงาน.....	46
4.2 สมการความสัมพันธ์ของสัมประสิทธิ์แรงเสียหายการไหลแบบกลับไปกลับมาเฉลี่ย.....	49
4.2.3 สมการความสัมพันธ์ของ Breathing factor.....	49
4.2 สมการความสัมพันธ์สัมประสิทธิ์แรงเสียหายการไหล และตัวแปร Breathing factor.....	48
4.3 การประยุกต์ใช้สมการความสัมพันธ์ที่ได้จากการทดลองร่วมกับแบบจำลอง คณิตศาสตร์แบบ Quasi steady flow.....	51

บทที่ 5 บทสรุป..... 51

 5.1 สรุปผลการวิจัย..... 51

 5.1.1 ชุดสมการความสัมพันธ์..... 51

 5.1.2 การประยุกต์ใช้สมการความสัมพันธ์ที่ได้จากการทดลองร่วมกับแบบจำลอง
 คณิตศาสตร์แบบ Quasi steady flow..... 52

 5.2 ข้อเสนอแนะ..... 52

เอกสารอ้างอิง..... 53

ภาคผนวก..... 55



สารบัญตาราง

ตารางที่	หน้า
1.1 การใช้พลังงานในปี 2560.....	1
1.2 ระยะเวลาทำการวิจัยและแผนการดำเนินงานตลอดโครงการวิจัย.....	5
2.1 ข้อมูลของเครื่องยนต์สเตอร์ลิง LTD สำหรับการวิเคราะห์เชิงตัวเลขของ Kongtragool และ Wongwises.....	17
4.1 แสดงการเปรียบเทียบผลการทำนายค่ากำลังบ่งชี้ของแบบจำลองทางคณิตศาสตร์.....	51



สารบัญญภาพ

รูปที่	หน้า
1.1 องค์ประกอบของเครื่องยนต์สเตอร์ลิง.....	2
1.2 ลักษณะการเรียงตัวของลูกสูบทั้ง 3 ประเภท.....	2
2.1 หลักการทำงานของเครื่องยนต์สเตอร์ลิง.....	8
2.2 แผนภาพ P-V diagram และ T-s diagram ของเครื่องยนต์สเตอร์ลิง.....	8
2.3 แผนภาพ P-V เปรียบเทียบระหว่างวัฏจักรทางอุณหคติและวัฏจักรการทำงานจริง.....	9
2.4 รูปร่างความเร็วเมื่อ (a) ความดันคงที่ และ (b) ความดันเปลี่ยนแปลงแบบเป็นคาบ.....	9
2.5 รูปร่างความเร็วของอากาศภายใต้การไหลแบบกลับไปกลับมาที่แต่ละวาล์วเลนซ์นัมเบอร์.....	11
2.6 เปรียบเทียบข้อมูลการวัดของอัตราการไหล และความดันที่ด้าน Warm end และ Cold end ของรีเจนเนอเรเตอร์ (a) ความเร็วรอบ 4.6 Hz (b) ความเร็วรอบ 60 Hz.....	13
2.7 แผนภาพลักษณะทางกายภาพของเครื่องยนต์สเตอร์ลิง LTD.....	16
2.8 แผนภาพลักษณะทางกายภาพของเครื่องยนต์สเตอร์ลิง LTD แบบลูกสูบคู่ ของ Kongtragool and Wongwises.....	16
3.1 ชุดทดสอบการไหลในรีเจนเนอเรเตอร์.....	18
3.2 ส่วนแลกเปลี่ยนความร้อน.....	19
3.3 เพลลาขับเคลื่อน.....	19
3.4 รีเจนเนอเรเตอร์.....	20
3.5 ระบบขับเคลื่อน.....	20
3.6 ชุดระบายไอเสียร้อน.....	21
3.7 เครื่องทำน้ำเย็น.....	21

สารบัญญภาพ (ต่อ)

รูปที่	หน้า
3.8 ชุดควบคุมอุณหภูมิ.....	22
3.9 ตำแหน่งการติดตั้งหัววัด.....	22
3.10 หัววัดความดัน (Pressure sensor).....	23
3.11 หัววัดอุณหภูมิ (Thermocouple).....	23
3.12 เครื่องมือวัดอัตราการไหล.....	23
3.13 ชุดอุปกรณ์เก็บข้อมูลสำหรับการทดลอง.....	24
3.14 ทิศทางการไหลของสารที่ทำงานในแบบจำลองคณิตศาสตร์ของ Kraitong.....	28
3.15 Free body diagram ของกลไกการส่งกำลังของเครื่องยนต์ลูกสูบ.....	38
3.16 แผนผังแสดงผังขั้นตอนของโปรแกรมในการทำนายสมรรถนะของเครื่องยนต์สเตอร์ลิง.....	45
4.1 แสดงกราฟข้อมูลการเปลี่ยนแปลงความดันของสารทำงานที่ด้านรับความร้อนและ ทางด้านระบายความร้อนของรีเจนเนอเรเตอร์ ใช้แถบโลหะบาง ที่ความเร็ว 5 Hz.....	47
4.2 กราฟแสดงความสัมพันธ์ของสัมประสิทธิ์แรงเสียดทานการไหลที่ทางด้านรับความร้อนและ ตัวแปร Breathing factor เมื่อเทียบกับค่าเรโนลด์นัมเบอร์.....	50
ก1 แสดงกราฟข้อมูลการเปลี่ยนแปลงความดันของสารทำงานที่ด้านรับความร้อนและทางด้าน ระบายความร้อนของรีเจนเนอเรเตอร์ ใช้แถบโลหะบาง ที่ความเร็ว 2 Hz.....	56
ก2 แสดงกราฟข้อมูลการเปลี่ยนแปลงความดันของสารทำงานที่ด้านรับความร้อนและทางด้าน ระบายความร้อนของรีเจนเนอเรเตอร์ ใช้แถบโลหะบาง ที่ความเร็ว 3 Hz.....	56
ก3 แสดงกราฟข้อมูลการเปลี่ยนแปลงความดันของสารทำงานที่ด้านรับความร้อนและทางด้าน ระบายความร้อนของรีเจนเนอเรเตอร์ ใช้แถบโลหะบาง ที่ความเร็ว 4 Hz.....	57

ก4 แสดงกราฟข้อมูลการเปลี่ยนแปลงความดันของสารทำงานที่ด้านรับความร้อนและทางด้าน ระบายความร้อนของรีเจนเนอเรเตอร์ ใช้แก๊บโลหะบาง ที่ความเร็ว 5 Hz.....	57
ก5 แสดงกราฟข้อมูลการเปลี่ยนแปลงความดันของสารทำงานที่ด้านรับความร้อนและทางด้าน ระบายความร้อนของรีเจนเนอเรเตอร์ ใช้แก๊บโลหะบาง ที่ความเร็ว 6 Hz.....	58
ก6 แสดงกราฟข้อมูลการเปลี่ยนแปลงความดันของสารทำงานที่ด้านรับความร้อนและทางด้าน ระบายความร้อนของรีเจนเนอเรเตอร์ ใช้แก๊บโลหะบาง ที่ความเร็ว 7 Hz.....	58
ก7 แสดงกราฟข้อมูลการเปลี่ยนแปลงความดันของสารทำงานที่ด้านรับความร้อนและทางด้าน ระบายความร้อนของรีเจนเนอเรเตอร์ ใช้แก๊บโลหะบาง ที่ความเร็ว 8 Hz.....	59
ก8 แสดงกราฟข้อมูลการเปลี่ยนแปลงความดันของสารทำงานที่ด้านรับความร้อนและทางด้าน ระบายความร้อนของรีเจนเนอเรเตอร์ ใช้แก๊บโลหะบาง ที่ความเร็ว 9 Hz.....	59
ก9 แสดงกราฟข้อมูลการเปลี่ยนแปลงความดันของสารทำงานที่ด้านรับความร้อนและทางด้าน ระบายความร้อนของรีเจนเนอเรเตอร์ ใช้แก๊บโลหะบาง ที่ความเร็ว 10 Hz.....	60



อักษรย่อ

A_g	= wetted area (m^2)
B	= Breathing factor
C_p	= heat capacity at constant pressure (J/KgK)
C_v	= heat capacity at constant volume (J/kgK)
D	= hydraulic diameter (m)
dQ	= Derivative of heat transfer
f	= frequency (Hz)
f_{osc}	= oscillating friction factor
f_{oscm}	= mean oscillating friction factor
h	= convective heat transfer coefficient ($W/m^2 K$)
L_r	= Length of regenerator (m)
M	= mass (kg)
W_c	= compression work (J)
W_e	= expansion work (J)
W_i	= cyclic work (J)
$X_{\Delta p}$	= amplitude of pressure drops (Pa)
$X\dot{m}$	= amplitude of mean flow rate (kg/s)
$X\dot{m}_1$	= amplitude of mass flow rate at hot end (kg/s)
$X\dot{m}_2$	= amplitude of mass flow rate at cold end (kg/s)
\dot{m}_o	= outlet mass flow rate (kg/s)

P_i = indicated power (W)

Re = Reynold number

Re_1 = Reynold number at hot end

t = time (s)

T = gas temperature (K)

T_i = inlet gas temperature (K)

T_o = outlet gas temperature (K)

u = gas velocity (m/s)

V_a = Valensi number

V_c = compression space volume (m^3)

V_e = expansion space volume (m^3)

X_{um} = amplitude of mean velocity (m/s)

X_{u1} = amplitude of velocity hot end (m/s)

Greek symbols

ϵ = expansion parameter

μ = gas viscosity (Pa.s)

ρ = gas density (Kg/m³)

ϕ_{in} = phase angle of mass flow rate (°)

ω = angular velocity (rad/s)

บทที่ 1

บทนำ

1.1 ความเป็นมาและความสำคัญของโครงการ

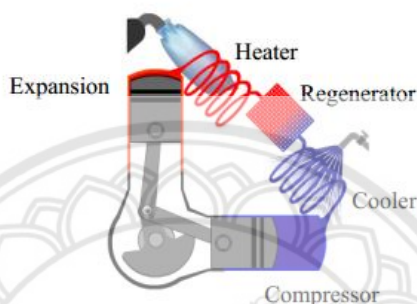
ในปัจจุบันปฏิเสธไม่ได้เลยว่าพลังงานมีความสำคัญกับชีวิตประจำวันเป็นอย่างยิ่ง ทั้งในด้านอุตสาหกรรมและการขนส่ง ซึ่งทั้งสองด้านนี้มีแนวโน้มที่ใช้พลังงานสูงสุดเมื่อเทียบกับด้านอื่นๆ ด้วยจำนวนประชากรที่เพิ่มมากขึ้นเรื่อยๆ ทำให้การใช้พลังงานมากขึ้นไปด้วย ดังแสดงค่าการใช้พลังงานของประเทศไทยในปี 2560 ดังแสดงในตารางที่ 1 [1]

ตารางที่ 1.1 การใช้พลังงานในปี 2560 [1]

การใช้พลังงานขั้นต้น	ปริมาณ (พันบาร์เรลน้ำมันดิบต่อวัน)
น้ำมัน	816
ก๊าซธรรมชาติ	894
ถ่านหิน/ลิกไนต์	360
พลังน้ำ/ไฟฟ้านำเข้า	50
รวม	2,120

พลังงานหลักที่ใช้ในกิจกรรมเหล่านี้ล้วนมาจากน้ำมันและแก๊สธรรมชาติเป็นส่วนใหญ่ ซึ่งน้ำมันและแก๊สธรรมชาติถือว่าเป็นทรัพยากรที่จำกัดและมีแต่จะหมดไป จึงต้องมีการหาพลังงานทดแทนต่างๆ ได้แก่ พลังงานแสงอาทิตย์ พลังงานลม พลังงานน้ำ พลังงานชีวมวล พลังงานชีวภาพ พลังงานความร้อนใต้พิภพหรือแม้แต่ขยะมูลฝอย ซึ่งเป็นพลังงานทดแทนที่ถูกพิจารณาว่าสามารถนำมาใช้แทนเชื้อเพลิงได้ ปัจจุบันเทคโนโลยีเกี่ยวกับพลังงานทดแทนนี้ได้รับการพัฒนาไปอย่างมาก เครื่องยนต์สเตอร์ลิง (Stirling engine) คือเครื่องจักรชนิดหนึ่งที่ประยุกต์ใช้กับพลังงานพลังงานทดแทนได้หลากหลายชนิด ซึ่งในปัจจุบันมีนักวิจัยให้ความสนใจในการพัฒนาเครื่องยนต์สเตอร์ลิงเป็นอย่างมาก เพราะเครื่องยนต์สเตอร์ลิงเป็นเครื่องยนต์ที่สามารถแปลงพลังงานความร้อนให้อยู่

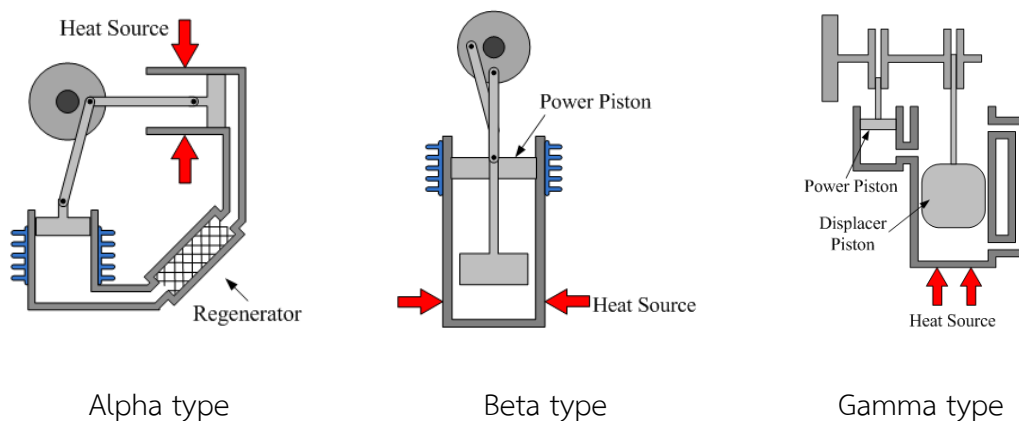
ในรูปพลังงานกลหรือพลังงานไฟฟ้าได้ โดยลักษณะการทำงานเมื่อให้ความร้อนในกระบอกสูบจะทำให้ อากาศในกระบอกสูบเกิดการขยายตัว และอากาศในกระบอกสูบจะเกิดการหดตัวเมื่อได้รับความเย็น ซึ่งกระบวนการนี้สามารถสร้างแรงดันลูกสูบให้ลูกสูบเคลื่อนที่สลับไปมาภายในกระบอกสูบเกิดเป็นวัฏจักรอย่างต่อเนื่อง โดยมีส่วนประกอบหลักอยู่ 5 ส่วน คือ ส่วนขยาย (Expansion space) ส่วนอัด (Compression space) ส่วนให้ความร้อน (Heater) ส่วนระบายความร้อน (Cooler) รีเจนเนอเรเตอร์ (Regenerator) โดยลักษณะเครื่องยนต์สเตอร์ลิงแสดงดังรูปที่ 1.1



รูปที่ 1.1 องค์ประกอบของเครื่องยนต์สเตอร์ลิง [2]

เครื่องยนต์สเตอร์ลิงสามารถจำแนกได้ด้วยช่วงอุณหภูมิทำงาน โดยแบ่งเป็นช่วงอุณหภูมิแตกต่างกันสูง (High temperature difference) คือในช่วงระหว่างอุณหภูมิ 400-800 °C ช่วงอุณหภูมิแตกต่างกันปานกลาง (Medium temperature difference) คือในช่วงระหว่างอุณหภูมิ 150-400 °C และช่วงอุณหภูมิต่างกันต่ำ (Low temperature difference) คือในช่วงระหว่างอุณหภูมิ 80-150 °C ดังนั้นจึงสามารถนำไปใช้งานร่วมกับแหล่งพลังงานความร้อนในอุณหภูมิต่างๆ ได้อย่างครอบคลุม

นอกจากนี้ยังสามารถแบ่งเครื่องยนต์สเตอร์ลิงตามลักษณะทางกายภาพได้เป็น 3 ชนิด คือ แบบแอลฟา (Alpha) แบบบีตา (Beta) และแบบแกมมา (Gamma) ซึ่งแต่ละประเภทแสดงดังรูปที่ 1.2



รูปที่ 1.2 ลักษณะการเรียงตัวของลูกสูบทั้ง 3 ประเภท [3]

แนวทางในการพัฒนาเครื่องยนต์สเตอร์ลิงในปัจจุบัน สามารถใช้แบบจำลองทางคณิตศาสตร์ (Mathematical model) ในการทำนายค่าสมรรถนะของเครื่องยนต์ เนื่องจากแบบจำลองทางคณิตศาสตร์เป็นเครื่องมือที่มีความแม่นยำในการทำนายค่าสมรรถนะของเครื่องยนต์สเตอร์ลิง โดยใช้แบบจำลองทางคณิตศาสตร์ในการหาค่าประสิทธิภาพเชิงความร้อน ค่าความ สูญเสีย (Losses) ที่เกิดขึ้นในชุดแลกเปลี่ยนความร้อน และค่าความดันตกในส่วนแลกเปลี่ยนความร้อนของเครื่องยนต์ แล้วนำค่าเหล่านี้มาเปรียบเทียบเพื่อหาค่าความเหมาะสม (Optimisation method) ที่จะใช้พัฒนาเครื่องยนต์สเตอร์ลิงให้มีประสิทธิภาพในการทำงานมากขึ้น [2]

แบบจำลองคณิตศาสตร์ที่นิยมใช้ในการทำนายค่าสมรรถนะของเครื่องยนต์สเตอร์ลิงส่วนมากเป็นแบบจำลองลำดับที่สอง (Second order Stirling engine model) เพราะเป็นแบบจำลองที่มีความซับซ้อนไม่มาก ส่งผลให้ใช้เวลาในการคำนวณน้อยแต่ให้ความแม่นยำในระดับที่ยอมรับได้ โดยแบบจำลองนี้จะแบ่งลักษณะการทำงานของเครื่องยนต์สเตอร์ลิงในส่วนต่างๆ ด้วยสมการการอนุรักษ์มวลและสมการการอนุรักษ์พลังงาน ในส่วนการแลกเปลี่ยนความร้อนทั้ง 3 ส่วนของเครื่องยนต์สเตอร์ลิง มีการใช้สมการความสัมพันธ์ของค่าสัมประสิทธิ์การถ่ายเทความร้อนและสัมประสิทธิ์ความเสียดทานการไหลจากการทดลองเพื่อคำนวณหาการถ่ายเทความร้อน และความดันตกคร่อม (Pressure drop) ซึ่งพารามิเตอร์เหล่านี้มีผลกระทบอย่างมากต่อประสิทธิภาพของเครื่องยนต์สเตอร์ลิง โดยเฉพาะส่วนรีเจนเนอเรเตอร์จะมีความซับซ้อนเป็นอย่างมาก การแลกเปลี่ยนความร้อนในรีเจนเนอเรเตอร์เกิดขึ้นเมื่อมีสารทำงานไหลผ่านวัสดุพรุน (Porous media) ในรีเจนเนอเรเตอร์ ทำให้เกิดความต้านทานการไหล ส่งผลให้ความดันลดลง คิดเป็น 90 % ของการสูญเสียจากความต้านทานการไหล [5] ทั้งหมดของเครื่องยนต์ ดังนั้นเพื่อให้ได้ค่าใกล้เคียงกับการทำงานจริงของเครื่องยนต์สเตอร์ลิง การใช้สมการความสัมพันธ์ของค่าสัมประสิทธิ์ความเสียดทานการไหลในการหาความดันตกคร่อมในรีเจนเนอเรเตอร์ จึงมีความสำคัญอย่างมาก

มีการสร้างสมการความสัมพันธ์ของค่าสัมประสิทธิ์ความเสียดทานการไหลจากการทดสอบหลายสมการและถูกนำเสนอเพื่อใช้ทำนายค่าความดันตกคร่อมในรีเจนเนอเรเตอร์ [6] นักวิจัยหลายท่านนำสมการเหล่านี้มาใช้ในแบบจำลองคณิตศาสตร์ของเครื่องยนต์สเตอร์ลิง ซึ่งในการพัฒนาเพื่อให้ได้สมการที่สามารถทำนายค่าสมรรถนะได้ใกล้เคียงกับการทำงานจริงของเครื่องยนต์สเตอร์ลิงมากขึ้น Khiaonoi and Kraitong [8] ได้นำสมการความสัมพันธ์ของค่าสัมประสิทธิ์ความเสียดทานการไหลจากการทดลองภายใต้การไหลแบบกลับไปกลับมา โดยคำนึงถึงผลการเปลี่ยนแปลงความดันแบบเป็นคาบในรีเจนเนอเรเตอร์ที่มีลักษณะการทำงานคล้ายกับเครื่องยนต์สเตอร์ลิงของโครโอคูเลอร์ (Cryocooler) แต่มีอุณหภูมิการทำงานที่อุณหภูมิต่ำที่นำเสนอโดย Choi et al. [9] และใช้ค่า Breathing factor ซึ่งเป็นค่าที่แสดงคุณลักษณะของการไหลแบบกลับไปกลับมาในสมการอนุรักษ์มวลของรีเจนเนอเรเตอร์ ในแนวคิดของ Nam and Joeng [10-12] มาประยุกต์ใช้ร่วมกับแบบจำลอง

คณิตศาสตร์แบบลำดับที่สองที่พัฒนาขึ้นโดย Kraitong [2] พบว่าสามารถใช้ทำนายค่าสมรรถนะของเครื่องยนต์สเตอร์ลิงได้ใกล้เคียงมากขึ้นกว่าเดิม อย่างไรก็ตามสมการความสัมพันธ์ภายใต้การไหลแบบกลับไปกลับมา โดยคำนึงถึงผลการเปลี่ยนแปลงความดันแบบเป็นคาบในรีเจนเนอเรเตอร์ที่นำมาใช้ใน Khiaonoi and Kraitong [8] ถูกทดสอบที่อุณหภูมิห้อง ซึ่งในส่วนรีเจนเนอเรเตอร์ของเครื่องยนต์สเตอร์ลิงอุณหภูมิการทำงานจริงจะสูงกว่าอุณหภูมิห้อง รวมถึงงานวิจัยเครื่องยนต์สเตอร์ลิงที่ทำงานในช่วงอุณหภูมิ 150-400 °C ซึ่งเป็นอุณหภูมิแตกต่างกันกลางใช้ในการทำนายพฤติกรรมของการไหลแบบกลับไปกลับมาและคำนวณค่าความดันที่เกิดขึ้นในรีเจนเนอเรเตอร์ด้วยแบบจำลองทางคณิตศาสตร์ (Quasi steady flow model) ซึ่งมีความแม่นยำในการทำนายค่ากำลังบ่งชี้ของเครื่องยนต์สเตอร์ลิงเพิ่มขึ้น 9.21 % เมื่อเปรียบเทียบผลการทำนายที่ได้จากแบบจำลองที่เสนอโดย ณัฐกุล เจียมศักดิ์ และคณะ [13]

จากที่กล่าวมาข้างต้น ดังนั้นงานวิจัยนี้จึงมีความสนใจที่จะทำการทดสอบการไหลแบบกลับไปกลับมาในรีเจนเนอเรเตอร์ในช่วงการทำงานของเครื่องนี้ที่อุณหภูมิแตกต่างกันซึ่งอยู่ในช่วงระหว่างอุณหภูมิ 80-150 °C เพื่อนำค่าที่ได้จากการทดสอบไปใช้ในการสร้างชุดข้อมูลสำหรับสร้างสมการความสัมพันธ์ของสัมประสิทธิ์แรงเสียดทานการไหลแบบกลับไปกลับมาและสมการความสัมพันธ์ของค่าตัวแปร Breathing factor และนำสมการความสัมพันธ์เหล่านี้มาจำลองการทำงานจริงของเครื่องยนต์สเตอร์ลิงด้วยแบบจำลองทางคณิตศาสตร์แบบ Quasi steady flow model ของเครื่องยนต์ทำงานที่อุณหภูมิแตกต่างกันต่ำ ซึ่งจะพัฒนาจากงานของ Kraitong [2] โดยแบบจำลองนี้จะคำนึงถึงผลการเปลี่ยนแปลงความดันและคาบเวลาในรีเจนเนอเรเตอร์ เพื่อให้สามารถทำนายค่าสมรรถนะของเครื่องยนต์สเตอร์ลิงได้ใกล้เคียงการทำงานจริงมากขึ้น

1.2 ความมุ่งหมายการวิจัย

สร้างสมการความสัมพันธ์ของค่าสัมประสิทธิ์ความเสียดทานภายใต้การไหลแบบกลับไปกลับมา โดยคำนึงถึงผลการเปลี่ยนแปลงความดันแบบเป็นคาบในรีเจนเนอเรเตอร์ชนิดแถบโลหะบางของเครื่องยนต์สเตอร์ลิง ที่อุณหภูมิแตกต่างกันของเครื่องยนต์สเตอร์ลิงอยู่ในช่วงอุณหภูมิ 80-150 °C ซึ่งเป็นความแตกต่างอุณหภูมิต่ำ เพื่อใช้ในการทำนายพฤติกรรมของการไหลแบบกลับไปกลับมาและคำนวณค่าความดันที่เกิดขึ้นในรีเจนเนอเรเตอร์ด้วยแบบจำลองทางคณิตศาสตร์ (Quasi steady flow model) ที่ คำนึงถึงผลการเปลี่ยนแปลงความดันและคาบเวลาในรีเจนเนอเรเตอร์ที่พัฒนาขึ้น

1.3 ขอบเขตของการวิจัย

1.3.1 พัฒนาแบบจำลองคณิตศาสตร์ของเครื่องยนต์สเตอร์ลิงแบบ Quasi steady flow model ด้วยการพิจารณาลักษณะการไหลแบบกลับไปกลับมาในรีเจนเนอเรเตอร์ชนิดแถบโลหะบาง และพิจารณาผลการเปลี่ยนแปลงความดันแบบเป็นคาบ โดยใช้ร่วมกับสมการความสัมพันธ์ของค่าสัมประสิทธิ์ความเสียดทานภายใต้การไหลแบบกลับไปกลับมาของแถบโลหะบางที่ได้จากการทดสอบที่สภาวะการทำงานของสารทำงานเป็นอากาศที่ความดัน 1 bar ทำงานในช่วงความแตกต่างอุณหภูมิ ต่ำ (Low temperature difference)

1.3.2 เปรียบเทียบการทำนายสมรรถนะแบบจำลองทางคณิตศาสตร์ที่ได้พัฒนาขึ้นกับผลการทดสอบของเครื่องยนต์สเตอร์ลิงที่ทำงานในช่วงความแตกต่างของอุณหภูมิต่ำจากงานวิจัยที่ผ่านมา

1.4 ประโยชน์ที่คาดว่าจะได้รับ

ได้สมการที่มีผลกระทบต่อประสิทธิภาพการทำงานการไหลกลับไปกลับมาและแบบจำลองทางคณิตศาสตร์ที่สามารถทำนายสมรรถนะของเครื่องยนต์สเตอร์ลิงที่ทำงานในช่วงความแตกต่างอุณหภูมิต่ำ

1.5 แผนการดำเนินงาน

ตารางที่ 1.2 ระยะเวลาทำการวิจัยและแผนการดำเนินงานตลอดโครงการวิจัย

กิจกรรม	2561					2562					
	ส.ค.	ก.ย.	ต.ค.	พ.ย.	ธ.ค.	ม.ค.	ก.พ.	มี.ค.	เม.ย.	พ.ค.	มิ.ย.
1. ศึกษาข้อมูลเกี่ยวกับงานวิจัย											
2. ปรับปรุงแก้ไขเครื่องยนต์สเตอร์ลิงและชุดทดสอบรีเจนเนอเรเตอร์											
3. ทำการทดลองรีเจนเนอเรเตอร์ภายใต้การไหลแบบกลับไปกลับมา โดย											

คำนึงถึงผลการเปลี่ยนแปลงความดันแบบเป็นคาบ											
4. สร้างสมการความสัมพันธ์ของค่าสัมประสิทธิ์แรงเสียดทาน											
5. พัฒนาแบบจำลองคณิตศาสตร์และทดสอบแบบจำลองโดยใช้สมการที่สร้างขึ้น											
6. เปรียบเทียบผลกับงานวิจัยที่ผ่านมา											
7. สรุปผลการวิจัย											
8. จัดทำรูปเล่มปริยฐานิพนธ์											

1.6 งบประมาณ

1.6.1 งบประมาณที่ใช้ในโครงการได้รับการสนับสนุนจากโครงการวิจัย การจำลองเชิงตัวเลขสำหรับเครื่องยนต์สเตอร์ลิงด้วยการวิเคราะห์ลักษณะการไหลแบบกลับไปกลับมาในรีเจนเนอเรเตอร์
ทุนวิจัย มหาวิทยาลัยนเรศวร งบประมาณเงินรายได้ปี 2561

บทที่ 2

ทฤษฎีและงานวิจัยที่เกี่ยวข้อง

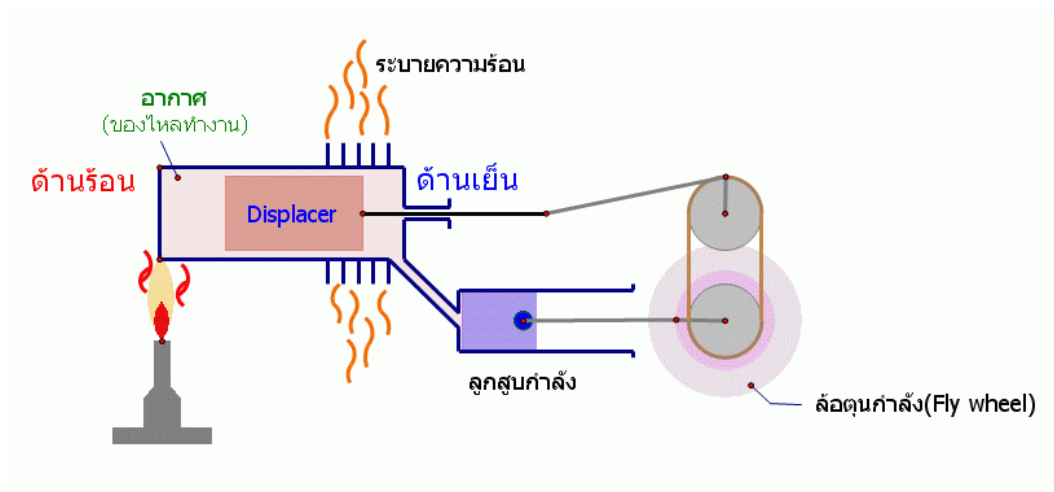
บทนี้แสดงถึงทฤษฎีและงานวิจัยที่เกี่ยวข้องกับวัฏจักรทางเทอร์โมไดนามิกส์ของเครื่องยนต์สเตอร์ลิง แบบจำลองทางคณิตศาสตร์ลำดับที่สอง (Quasi steady flow model) ที่คำนึงถึงการไหลแบบกลับไปกลับมา และการหาค่าสัมประสิทธิ์แรงเสียดทานของการไหลในรีเจนเนอเรเตอร์

2.1 วัฏจักรทางเทอร์โมไดนามิกส์ของเครื่องยนต์สเตอร์ลิง

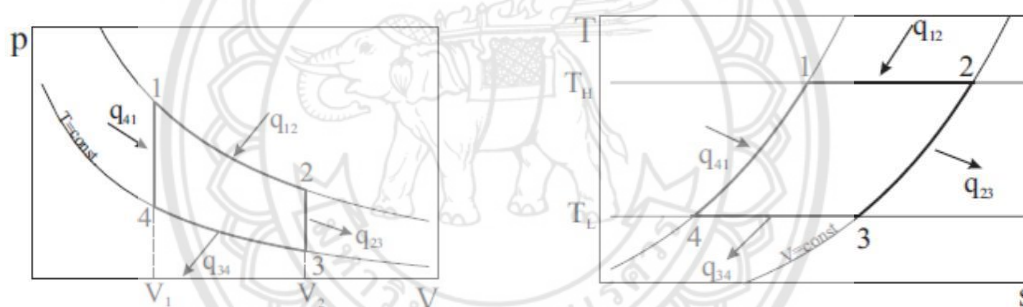
วัฏจักรสเตอร์ลิงในอุดมคติ นั้น จะมีกระบวนการที่เกิดขึ้นภายในวัฏจักรทั้งหมดสี่กระบวนการทางเทอร์โมไดนามิกส์ โดยแต่ละกระบวนการจะหมุนวนเป็นวัฏจักรไปเรื่อยๆ ลักษณะการทำงานจะเป็นดังรูปที่ 2.1 สารทำงานในแต่ละกระบวนการก็จะมีคุณสมบัติที่แตกต่างกันไปดังในแผนภาพ P-V diagram และ T-s diagram ในรูปที่ 2.2 ซึ่งในวัฏจักรประกอบด้วย กระบวนการอัดตัวแบบอุณหภูมิคงที่ (Isothermal Compression)

ให้ความร้อนกับระบบฝั่งร้อนซึ่งทำให้สารทำงานภายในระบบมีความดันเพิ่มขึ้น ดันลูกสูบไล่เคลื่อนที่มาจากฝั่งเย็น ในขณะที่ลูกสูบกำลังยังคงหยุดนิ่ง จากนั้นจะเป็นกระบวนการให้ความร้อนที่ปริมาตรคงที่ (Constant Volume Heating) เมื่อได้รับความร้อน อุณหภูมิของลูกสูบทางด้านฝั่งร้อนจะสูงขึ้น กระบวนการนี้จะเกิดความร้อนถ่ายเทจากรีเจนเนอเรเตอร์ (Regenerator) ไปยังสารทำงานที่ปริมาตรคงที่ ให้ความดันเพิ่มสูงขึ้น เกิดแรงดันลูกสูบกำลังให้เคลื่อนตัวไปทางขวา จนอุณหภูมิคงตัว ความดันก็จะลดลง ต่อมาจะเป็นกระบวนการขยายตัวที่อุณหภูมิคงที่ (Isothermal Expansion) เมื่อลูกสูบกำลังเคลื่อนตัวมาทางด้านขวา ทำให้ล้อตุ่นกำลังจะทำการหมุนและดัน

ลูกสูบไล่ให้เคลื่อนที่ไปทางด้านซ้าย เพื่อระบายความร้อนทางด้านเย็น ออกสู่ภายนอกระบบ สุดท้ายจะเกิดกระบวนการคายความร้อนปริมาตรคงที่ (Constant Volume Cooling) ล้อตุ่นกำลังจะหมุนไปพร้อมกับดึงลูกสูบไล่กลับมาทางด้านร้อน จะเกิดการถ่ายเทความร้อนจากสารทำงานไปยังรีเจนเนอเรเตอร์ (Regenerator) ที่ปริมาตรคงที่และวนเป็นวัฏจักรแบบนี้ไปเรื่อยๆ

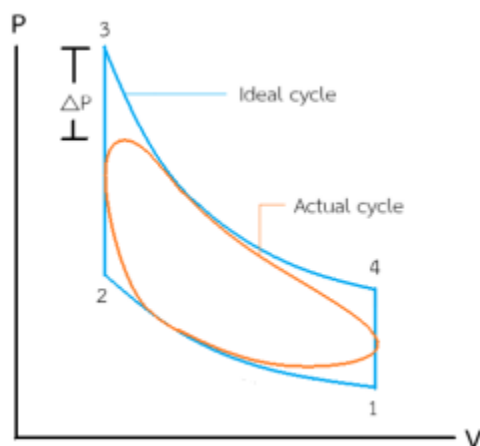


รูปที่ 2.1 หลักการทำงานของเครื่องยนต์สเตอร์ลิง [14]



รูปที่ 2.2 แผนภาพ P-V diagram และ T-s diagram ของเครื่องยนต์สเตอร์ลิง [15]

เครื่องยนต์สเตอร์ลิงในการทำงานจริงจะมีการสูญเสียความดันของสารทำงานเกิดขึ้น ทำให้ประสิทธิภาพเชิงความร้อนในวัฏจักรการทำงานจริงต่ำกว่าการทำงานทางอุดมคติ สามารถเปรียบเทียบการทำงานระหว่างวัฏจักรทางอุดมคติและการทำงานจริงได้ดังรูปที่ 2.3

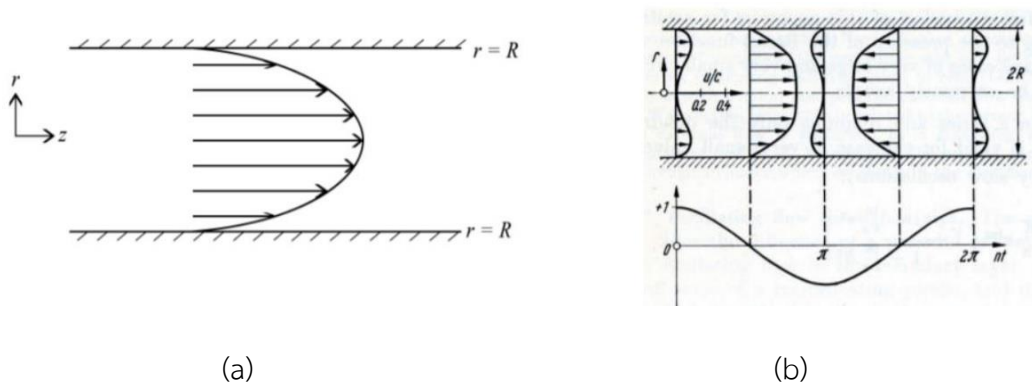


รูปที่ 2.3 แผนภาพ P-V เปรียบเทียบระหว่างวัฏจักรทางอุดมคติและวัฏจักรการทำงานจริง

2.2 การหาค่าสัมประสิทธิ์การไหลในรีเจนเนอเรเตอร์

2.2.1 การไหลในรีเจนเนอเรเตอร์และการไหลแบบกลับไปกลับมา

ในการสร้างสมการความสัมพันธ์ของสัมประสิทธิ์แรงเสียดทานและสมการความดันตกที่มีการทำนายผลของการสูญเสียกำลังได้อย่างแม่นยำ จะต้องมีการศึกษาคุณลักษณะการไหลในรีเจนเนอเรเตอร์ พบว่าเป็นการไหลแบบไม่คงตัว ซึ่งได้แก่การไหลแบบปั่นป่วน (Turbulence flow) และการไหลแบบกลับไปกลับมา (Oscillating flow) เกิดขึ้นในตัวรีเจนเนอเรเตอร์ อีกปัจจัยหนึ่งที่มีอิทธิพลต่อการเกิดความดันตกก็คือรูปแบบของการเปลี่ยนแปลงความดันในขณะการไหล ซึ่งการเปลี่ยนแปลงความเร็วของการไหลแต่ละชนิดและความสัมพันธ์ของความดันต่อรูปร่างความเร็ว (Velocity profile) ของการไหล แสดงในรูปที่ 2.4



รูปที่ 2.4 รูปร่างความเร็วเมื่อ (a) ความดันคงที่ และ (b) ความดันเปลี่ยนแปลงแบบเป็นคาบ [16]

ขณะที่เครื่องยนต์สเตอร์ลิง ทำงานก๊าซในกระบอกสูบจะเคลื่อนที่แบบกลับไปกลับมาซึ่งสัมพันธ์กับการเคลื่อนที่ของลูกสูบที่เคลื่อนตามความเร็วรอบของเครื่องยนต์) ในการศึกษาการไหล โดยพิจารณาให้ความเร็วการไหลของก๊าซมีการเปลี่ยนแปลงแบบคลื่นรูปไซน์ที่มีความเร็วเฉลี่ยเป็นศูนย์ (Zero mean velocity) จะมีการใช้ตัวแปรไร้มิติ มาช่วยพิจารณา ประกอบด้วย เรย์โนลด์นัมเบอร์สูงสุด วาเลนซึ้นัมเบอร์ สัดส่วนโดเมนของก๊าซ และตัวแปรการขยาย

2.2.1.1 เรย์โนลด์นัมเบอร์สูงสุด (Maximum Reynold number, Re_{max}) เป็นเลขดัชนีที่บอกสภาพปรากฏการณ์การไหลของของไหล จำนวนเลขเรย์โนลด์จะมีค่าขึ้นอยู่กับความเร็วการไหล ความหนืด ขนาดเส้นผ่านศูนย์กลางท่อ และความหนาแน่นของของไหล เราอาจเขียนความสัมพันธ์ดังกล่าวได้ดังแสดงในสมการที่

2.3.1.2 วาเลนซึ้นัมเบอร์ (Valency number, Va) หรือเรย์โนลด์นัมเบอร์เชิงความถี่ (Angular Reynold number, Re_{ω}) เป็นตัวแปรไร้มิติที่พิจารณาที่ความเร็วเชิงมุมของการไหล แสดงในสมการที่ (2.1)

$$Re_{max} = \frac{U_{max} D_h}{\nu} \quad (2.1)$$

$$Va = Re_{max} = \frac{\omega D_h^2}{\nu} \quad (2.2)$$

โดยที่ U_{max} คือ ความเร็วสูงสุด (m/s)
 ω คือ ความเร็วรอบ (rad/s)
 D_h คือ เส้นผ่านศูนย์กลางไฮดรอลิก (m)
 ν คือ ความหนืดเชิงจลน์ (m^2/s)

2.3.1.3 สัดส่วนโดเมนของก๊าซ (Gas domain ratio, L/D) คืออัตราส่วนระหว่างเส้นผ่านศูนย์กลางเทียบกับความยาวของตัวรีเจนเนอเรเตอร์

2.3.1.4 ตัวแปรการขยาย (Expansion parameter, ϵ) คืออัตราส่วนของระยะทางการเคลื่อนที่ของก๊าซต่อความยาวของตัวรีเจนเนอเรเตอร์แสดงในสมการที่ (2.3)

$$\epsilon = \frac{U}{\omega L} \quad (2.3)$$

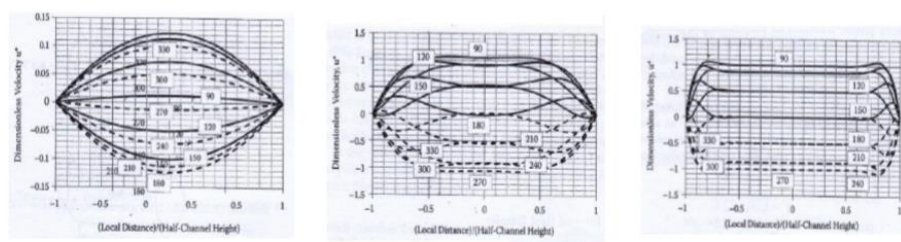
โดยที่	U	คือ ความเร็วก๊าซ (m/s)
	ω	คือ ความเร็วรอบ (rad/s)
	L	คือ ความยาวของช่องการไหล (m)

2.2.2 สมการความสัมพันธ์ของค่าสัมประสิทธิ์แรงเสียดทานการไหลแบบกลับไปกลับมาในรีเจนเนอเรเตอร์

ค่าสัมประสิทธิ์แรงเสียดทาน (Flow friction factor) นั้น ส่วนใหญ่จะได้ค่าจากการทดลอง โดยลักษณะของการทดลองจะแบ่งออกเป็นสองประเภทคือ การทดลองภายใต้การไหลทางเดียวแบบคงตัว (Unidirectional steady flow) และการทดลองภายใต้การไหลแบบกลับไปกลับมา (Oscillating flow)

ความแตกต่างของค่าสัมประสิทธิ์แรงเสียดทานภายใต้การไหลของสองแบบนี้ก็คือค่าสัมประสิทธิ์การไหลทางเดียวแบบคงตัว (Unidirectional steady flow) จะขึ้นอยู่กับค่าเรโนลด์นัมเบอร์ (Re) อย่างเดียว ส่วนค่าสัมประสิทธิ์แรงเสียดทานภายใต้การไหลแบบกลับไปกลับมา (Oscillating flow) จะมีค่าเรโนลด์นัมเบอร์สูงสุด (Re_{max}) และวาเลนซินัมเบอร์ (Va) ด้วย

จากข้อมูลการทดลอง พบว่าที่ความเร็วรอบต่ำรูปร่างความเร็วทั้งการไหลทางเดียวแบบคงตัว และการไหลแบบกลับไปกลับมา จะมีลักษณะคล้ายพาราโบลา แต่ในขณะที่ความเร็วรอบ ($Va > 20$) รูปร่างความเร็วการไหลแบบกลับไปกลับมาจะมีลักษณะแบนราบ จึงมีการนำสัมประสิทธิ์แรงเสียดทานแบบคงตัวมาคำนวณเพื่อหาความดันตกที่เกิดขึ้นในความเร็วรอบต่ำ ผลการทำนายนั้นสามารถเป็นที่ยอมรับได้ในระดับหนึ่ง



$Va = 1$

$Va = 100$

$Va = 1000$

รูปที่ 2.5 รูปร่างความเร็วของอากาศภายใต้การไหลแบบกลับไปกลับมาที่แต่ละวาเลนซินัมเบอร์ [17]

ตัวอย่างของงานวิจัยที่เกี่ยวข้องกับการไหลแบบกลับไปกลับมาเนื่องจากการไหลกลับไปกลับมาในรีเจนเนอเรเตอร์ ทำให้มีค่าสัมประสิทธิ์แรงเสียดทานในการสูญเสียการไหลมากที่สุด จึงมี

งานวิจัยต่างๆ ที่ศึกษาและพัฒนาสร้างสมการความสัมพันธ์นี้ เพื่อนำมาหาค่าความดันลดที่ทำให้ค่ากำลังที่ได้มีค่าน้อยลง

Tanaka et al. [6] ได้เสนอสมการความสัมพันธ์ของนัสเซลท์นัมเบอร์ (Nusselt number) ที่เกี่ยวข้องกับความสัมพันธ์ของสัมประสิทธิ์แรงเสียดทานการไหลในรีเจนเนอเรเตอร์ของเครื่องยนต์สเตอร์ลิง ยังพบว่าเมื่อลูกสูบมีความเร็วที่สูงขึ้นจะทำให้ค่าความดันลดสูงขึ้นด้วย ความสัมพันธ์ระหว่างความเร็วของลูกสูบและค่าความดันลดสามารถเขียนให้อยู่ในรูปสมการของสัมประสิทธิ์แรงเสียดทานและเรย์โนลด์นัมเบอร์ได้คือ

$$f_h = \frac{175}{Re_h} + 1.60 \quad (2.4)$$

เมื่อ f_h คือ สัมประสิทธิ์แรงเสียดทานการไหล

Re_h คือ เรย์โนลด์นัมเบอร์ที่ความเร็วสูงสุด

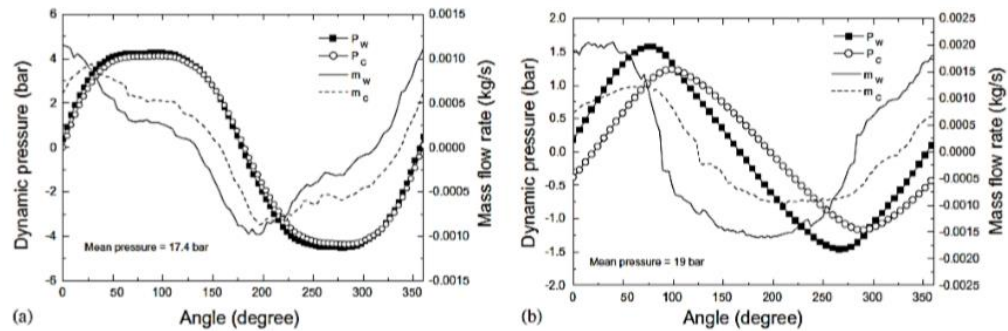
และเมื่อนำค่าสัมประสิทธิ์แรงเสียดทานในการไหลกลับไปกลับมาในรีเจนเนอเรเตอร์ มาเปรียบเทียบกับค่าสัมประสิทธิ์แรงเสียดทานภายใต้การไหลแบบคงตัว พบว่าค่าสัมประสิทธิ์แรงเสียดทานภายใต้การไหลแบบกลับไปกลับมา มีค่ามากกว่าอยู่ประมาณ 30% และขนาดของเส้นผ่านศูนย์กลางช่องถัก mesh และความยาวของรีเจนเนอเรเตอร์จะมีผลต่อค่าประสิทธิภาพเชิงความร้อนของเครื่องยนต์สเตอร์ลิงอีกด้วย สามารถเขียนสมการความสัมพันธ์ของนัสเซลท์นัมเบอร์ได้ดังนี้

$$\overline{Nu}_h = 0.33 \overline{Re}_h^{0.67} \quad (2.5)$$

เมื่อ \overline{Nu}_h คือ นัสเซลท์นัมเบอร์เฉลี่ย

\overline{Re}_h คือ เรย์โนลด์นัมเบอร์ที่ความเร็วเฉลี่ย

Nam and Joeng [10] ได้ศึกษาเพิ่มเติมเกี่ยวกับค่าสัมประสิทธิ์ของโครโอคูลเลอร์ โดยใช้แบบจำลองของก๊าซฮีเลียมที่อุณหภูมิห้อง ผลการวิจัยได้พบว่าสมการความสัมพันธ์ของค่าสัมประสิทธิ์แรงเสียดทานการไหลมีความผิดพลาด เมื่ออุณหภูมิที่ทางออกรีเจนเนอเรเตอร์เป็นอุณหภูมิแบบโครโอเจนิค โดยมีค่าความหนาแน่น ความหนืด และค่าวาเลนซ์นัมเบอร์ที่มีค่าใกล้เคียงกัน Nam and Joeng จึงใช้ข้อมูลของก๊าซไนโตรเจนที่อุณหภูมิของห้องแทนก๊าซฮีเลียมที่อุณหภูมิโครโอเจนิค และได้นำข้อมูลหนึ่งในวัฏจักรการทำงานของเครื่องยนต์สเตอร์ลิงมาเปรียบเทียบความต่างของแอมพิจูดและเฟส เพื่อทำให้สมการความสัมพันธ์ของค่าสัมประสิทธิ์แรงเสียดทานการไหลไม่เกิดความผิดพลาด ดังรูปที่ 2.6



รูปที่ 2.6 เปรียบเทียบข้อมูลการวัดของอัตราการไหล และความดันที่ด้าน Hot end และ Cold end ของรีเจนเนอเรเตอร์ (a) ความเร็วรอบ 4.6 Hz (b) ความเร็วรอบ 60 Hz [18]

Choi et al. [9] ได้ศึกษาการทดลองในโครโอคูเลเตอร์ที่มีการทำงานคล้ายกับรีเจนเนอเรเตอร์ในเครื่องยนต์สเตอร์ลิง โดยจุดมุ่งหมายเพื่อพัฒนาเกี่ยวกับแบบจำลองความดันลดในรีเจนเนอเรเตอร์ภายใต้การไหลแบบกลับไปกลับมากลับมาโดยคำนึงถึงการเปลี่ยนแปลงความดันตามคาบเวลาแบบจำลองที่ Choi et al. [9] ได้พัฒนาจะแสดงให้เห็นถึงความสัมพันธ์แอมพลิจูดและเฟสของความดันที่มีต่ออัตราการไหลเชิงมวลที่ทางด้านรับความร้อน (Hot end) ของรีเจนเนอเรเตอร์ ในการทดลองจะทดลองที่ความเร็วรอบและอัตราการไหลที่แตกต่างกันของรีเจนเนอเรเตอร์ที่ฉีกแบบ twill screen ผลที่ได้คือสัมประสิทธิ์แรงเสียดทานการไหลแบบกลับไปกลับมาเป็นฟังก์ชันของเรโนลด์นัมเบอร์ และความต่างเฟสความดันเป็นฟังก์ชันของวาเลนซินัมเบอร์ และความยาวของโดเมนก๊าซ

$$f_{osc} = \frac{39.2}{Re} + 0.01; 5 \leq Re_1 \leq 100 \quad (2.6)$$

$$\phi_{\Delta p} = 1.32 \times 10^{-9} \left(\frac{d_h}{L} \right)^{-0.62} Va; \left(0.15 \leq Va \leq 0.80 : 0.00075 \leq \frac{d_h}{L} \leq 0.00129 \right) \quad (2.7)$$

โดยที่ f_{osc} คือ สัมประสิทธิ์แรงเสียดทานการไหลแบบกลับไปกลับมากลับมา

Re_1 คือ เรโนลด์นัมเบอร์ที่ทางเข้าของรีเจนเนอเรเตอร์

$\phi_{\Delta p}$ คือ ความต่างเฟสของความดันลด

d_h คือ เส้นผ่านศูนย์กลางของช่องฉีกของรีเจนเนอเรเตอร์ (m)

L คือ ความยาวของรีเจนเนอเรเตอร์ (m)

Va คือ วาเลนซินัมเบอร์

Khiaonoi and Kraitong [8] ได้พัฒนาแบบจำลองทางคณิตศาสตร์ของเครื่องยนต์สเตอร์ลิงแบบลำดับที่สองแบบ Quasi steady flow ที่นำเสนอโดย Kraitong [2] ได้นำสมการความสัมพันธ์ของค่าสัมประสิทธิ์ความเสียดทานการไหลจากการทดลองภายใต้การไหลแบบกลับไปกลับมาของ Choi et al. [9] ที่แสดงอยู่ในรูปของอัตราการไหลและค่า Breathing factor เป็นค่าที่แสดงคุณลักษณะของการไหลแบบกลับไปกลับมาในสมการอนุรักษ์มวลของรีเจนเนอเรเตอร์ ในแนวคิดของ Nam and Joeng [10-11] มาประยุกต์ใช้ในแบบจำลอง

$$B = \frac{1}{f_{osc1}} \left(\frac{65.78}{Re_1} - 0.14 \right); 5 \leq Re_1 \leq 100 \quad (2.8)$$

โดยที่ B คือ Breathing factor

f_{osc1} คือ สัมประสิทธิ์แรงเสียดทานการไหลแบบกลับไปกลับมา

Re_1 คือ เรย์โนลด์สที่ทางเข้าของรีเจนเนอเรเตอร์

และยังได้ศึกษาถึงผลกระทบของอุณหภูมิที่มีต่อสมการความสัมพันธ์ของสัมประสิทธิ์แรงเสียดทานการไหลแบบกลับไปกลับมาภายใต้อุณหภูมิห้อง พบว่าค่าความดันลดที่ทำนายจากสมการสัมประสิทธิ์แรงเสียดทานมีความผิดพลาดเมื่ออุณหภูมิด้านระบายความร้อนของรีเจนเนอเรเตอร์เป็นอุณหภูมิที่อยู่ในช่วงโครโอเจนิค จากข้อมูลการทดลองได้ สมการความสัมพันธ์ดังนี้

$$f_{oscm} = \frac{1}{Va^{0.65}} \left(\frac{0.065}{\varepsilon_m} + 0.092 \right) \quad (2.9)$$

$$f_{osc1} = \frac{1}{Va^{0.65}} \left(\frac{0.045}{\varepsilon_1} + 0.096 \right)$$

(2.10)

โดยที่ f_{oscm} คือ สัมประสิทธิ์แรงเสียดทานการไหลแบบกลับไปกลับมาเฉลี่ย

ε คือ ตัวแปรการขยายตัว (Expansion parameter) หาได้จาก

$$\text{จาก } \varepsilon_1 = Re_1 \times \frac{d_c}{L} \times \frac{1}{Va_1} \quad (2.11)$$

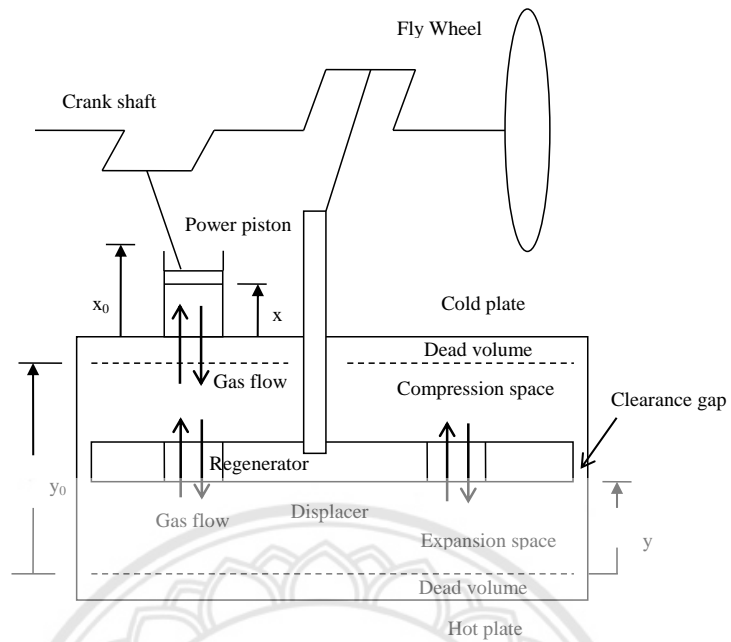
โดยที่ d_c คือ เส้นผ่าศูนย์กลางของท่อชุดทดสอบ (m)

ε_1 คือ ตัวแปรการขยายตัวเมื่อพิจารณาที่ทางเข้าของรีเจนเนอเรเตอร์

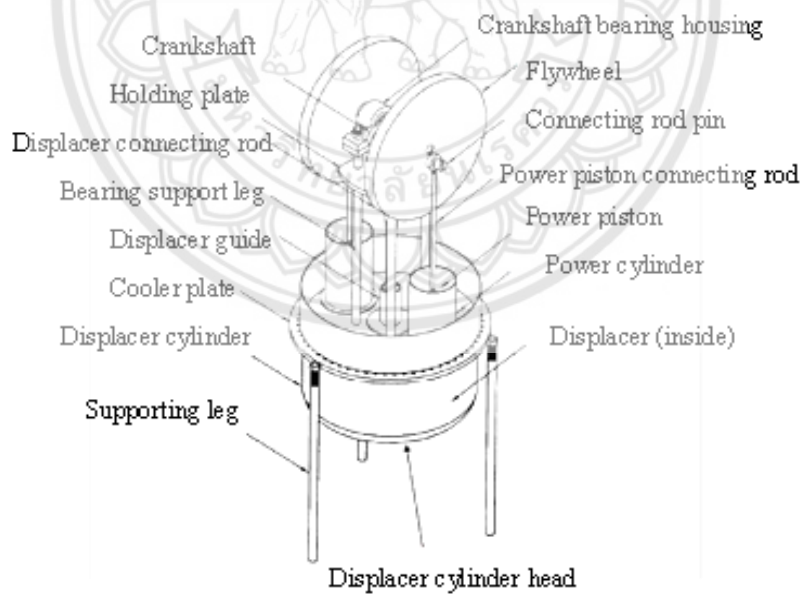
จากงานวิจัย Khiaonoi and Kraitong [8] ที่พัฒนาแบบจำลองทางคณิตศาสตร์สำหรับเครื่องยนต์สเตอร์ลิง ที่พิจารณาภายใต้การไหลแบบกลับไปกลับมาในรีเจนเนอเรเตอร์ และงานวิจัยของณัฐกุล เจียมศักดิ์ และคณะ [13] ที่นำสมการค่าสัมประสิทธิ์แรงเสียดทานการไหลแบบกลับไปกลับมาสำหรับรีเจนเนอเรเตอร์ที่ทำงานที่อุณหภูมิห้องมาประยุกต์ใช้ในความแตกต่างอุณหภูมิปานกลางพบว่า สามารถทำนายค่ากำลังบ่งชี้ได้แม่นยำกว่าแบบจำลองคณิตศาสตร์ที่ไม่ได้คำนึงถึงการไหลแบบกลับไปกลับมา ดังนั้นการหาค่าสมการความสัมพันธ์ของค่าสัมประสิทธิ์แรงเสียดทานการไหลโดยการพิจารณาภายใต้การไหลแบบกลับไปกลับมาของเครื่องยนต์สเตอร์ลิงทำงานที่ความแตกต่างอุณหภูมิต่ำในรีเจนเนอเรเตอร์ จึงควรถูกค้นคว้าวิจัยต่อไปเพื่อให้สามารถจำลองการทำงานของเครื่องยนต์สเตอร์ลิงได้ใกล้เคียงการทำงานจริงมากยิ่งขึ้น

2.3 แบบจำลองทางกายภาพของเครื่องยนต์สเตอร์ลิงทำงานที่ความแตกต่างอุณหภูมิต่ำ

ลักษณะทางกายภาพของเครื่องยนต์สเตอร์ลิง LTD นั้นค่อนข้างคล้ายคลึงกับเครื่องยนต์สเตอร์ลิงแบบแกมมาดั้งเดิม ดังรูปที่ 2.7 ที่แสดงให้เห็นถึงลักษณะของเครื่องยนต์สเตอร์ลิงแบบแกมมาและทิศทางการไหลของก๊าซ โดยส่วนประกอบหลักประกอบด้วย 1. ลูกสูบกำลังและกระบอกสูบ 2. ดิสเพลสเซอร์ซึ่งแยกส่วนการขยายและส่วนอัดในกระบอกสูบร้อน 3. Hot plate ที่ติดตั้งด้านล่างของกระบอกดิสเพลสเซอร์ ใช้ในการถ่ายโอนความร้อนจากแหล่งความร้อนไปยังสารทำงานในส่วนขยาย 4. cold plate ที่ติดตั้งด้านบนของกระบอกดิสเพลสเซอร์ ทำหน้าที่เป็นเครื่องแลกเปลี่ยนความร้อนที่ถ่ายโอนจากสารทำงานในส่วนอัดไปยังแหล่งระบายความร้อน 5. รีเจนเนอเรเตอร์ที่อยู่ภายในดิสเพลสเซอร์ 6. ระบบส่งกำลังและระบบขับเคลื่อน 7. Flywheel การไหลของก๊าซเกิดจากการเคลื่อนที่ของลูกสูบ ในงานวิจัยนี้ได้นำมิติทางกายภาพและข้อมูลการทดลองของเครื่องยนต์สเตอร์ลิง LTD แบบลูกสูบคู่ที่อธิบายไว้โดย Kongtragool and Wongwises [17] มาใช้เพื่อเปรียบเทียบผลลัพธ์เชิงตัวเลข เครื่องยนต์นี้มีลูกสูบกำลังสองตัว แต่ละตัวติดตั้งในกระบอกสูบของตัวเองและอีกหนึ่งตัวแยกอยู่กับรีเจนเนอเรเตอร์ ตัวรีเจนเนอเรเตอร์ทำจากตาข่ายสแตนเลสพรุน ก้านของดิสเพลสเซอร์ติดตั้งอยู่กับซีลยางสองอันเพื่อป้องกันการรั่วไหลของก๊าซ ลักษณะของเครื่องยนต์แสดงในรูปที่ 2.7 และแสดงข้อมูลของเครื่องยนต์สเตอร์ลิง LTD แบบลูกสูบคู่ในตารางที่ 2.1



รูปที่ 2.7 แผนภาพลักษณะทางกายภาพของเครื่องยนต์สเตอร์ลิง LTD [19]



รูปที่ 2.8 แผนภาพลักษณะทางกายภาพของเครื่องยนต์สเตอร์ลิง LTD แบบลูกสูบคู่ ของ Kongtragool and Wongwises [19]

ตารางที่ 2.1 ข้อมูลของเครื่องยนต์สเตอร์ลิง LTD สำหรับการวิเคราะห์เชิงตัวเลขของ Kongtragool และ Wongwisets [19]

ข้อมูลของเครื่องยนต์สเตอร์ลิง LTD แบบลูกสูบคู่	Value
ระยะชักลูกสูบ (m)	0.0826
เส้นผ่านศูนย์กลางลูกสูบ (m)	0.083
ปริมาตรลูกสูบที่กวาดได้ (m ³)	893.8×10^{-6}
ระยะชักลูกสูบดิสเพลสเซอร์ (m)	0.0795
เส้นผ่านศูนย์กลางลูกสูบดิสเพลสเซอร์ (m)	0.32
ปริมาตรลูกสูบดิสเพลสเซอร์ที่กวาดได้ (m ³)	6393.8×10^{-6}
อัตราส่วนปริมาตรที่กวาดได้	7.15
มุมลูกสูบ (°)	90
ความหนาดิสเพลสเซอร์ (m)	0.075
ความยาวก้านสูบของลูกสูบกำลัง (m)	0.265
ความยาวก้านสูบของดิสเพลสเซอร์ (m)	0.185

บทที่ 3

วิธีดำเนินงานวิจัย

การพัฒนาแบบจำลองทางคณิตศาสตร์แบบ Quasi steady flow ที่พิจารณาถึงการไหลแบบกลับไปกลับมาใต้การเปลี่ยนแปลงโดยคำนึงถึงผลการเปลี่ยนแปลงความดันแบบเป็นคาบในรีเจนเนอเรเตอร์ของเครื่องยนต์สเตอร์ลิงทำงานที่ความแตกต่างอุณหภูมิต่ำ จะแบ่งเป็น 2 ส่วนคือส่วนการทดลองหาสมการความสัมพันธ์ของค่าความสัมพันธ์สัมประสิทธิ์ความเสียหายภายใต้การไหลแบบกลับไปกลับมาและส่วนแบบจำลองคณิตศาสตร์ของเครื่องยนต์สเตอร์ลิงทำงานที่ความแตกต่างอุณหภูมิต่ำที่คำนึงถึงการไหลแบบกลับไปกลับมา

3.1 การทดลองเพื่อหาสมการความสัมพันธ์ของค่าความสัมพันธ์สัมประสิทธิ์ความเสียหายภายใต้การไหลแบบกลับไปกลับมา

ในหัวข้อนี้จะแสดงรายละเอียดในชุดทดสอบที่ใช้ในการหาค่าสัมประสิทธิ์ความเสียหายภายใต้การไหลแบบกลับไปกลับมาในรีเจนเนอเรเตอร์ของเครื่องยนต์สเตอร์ลิง

3.1.1 การพัฒนาชุดทดสอบการไหลในรีเจนเนอเรเตอร์

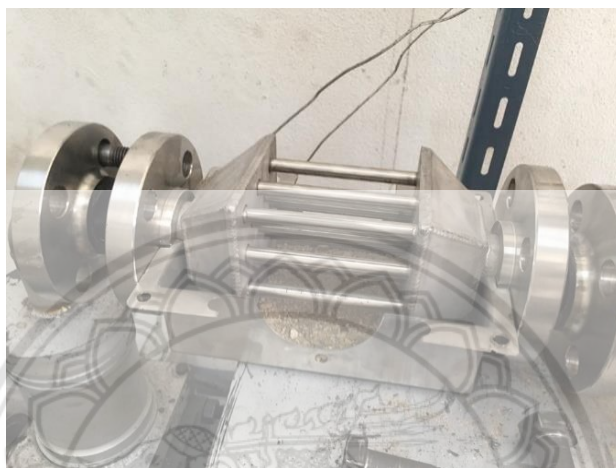
แบบชุดทดสอบที่ใช้เพื่อหาสมการสัมประสิทธิ์แรงเสียหายการไหลมีลักษณะเป็นเครื่องยนต์สเตอร์ลิงแบบอัลฟา โดยสามารถควบคุมอุณหภูมิผิวของส่วนรับความร้อนและส่วนระบายความร้อนได้ และสามารถควบคุมความเร็วรอบของลูกสูบได้ เพื่อให้เหมาะสมกับการทดลองมากยิ่งขึ้น ผู้วิจัยได้มีการปรับปรุงและพัฒนาชุดทดสอบบางส่วนแสดงให้เห็นดังรูปที่ 3.1



รูปที่ 3.1 ชุดทดสอบการไหลในรีเจนเนอเรเตอร์

3.1.1.1 อุปกรณ์ส่วนที่ให้ความร้อน (Heater)

ผู้วิจัยได้ออกแบบส่วนแลกเปลี่ยนความร้อนเป็นลักษณะท่อเล็กหลายท่อ เพื่อเพิ่มพื้นที่ผิวสัมผัสในการแลกเปลี่ยนความร้อน ทำให้สามารถแลกเปลี่ยนความร้อนได้ดีขึ้น โดยประกอบด้วย หน้าแปลนสแตนเลสเกรด 316 Pressure Class 600 เชื่อมติดกับท่อแลกเปลี่ยนความร้อนสแตนเลสเกรด 316 ขนาด 1/4 นิ้ว จำนวน 15 ท่อดังรูปที่ 3.2



รูปที่ 3.2 ส่วนแลกเปลี่ยนความร้อน

3.1.1.2 เฟลาขับเคลื่อน

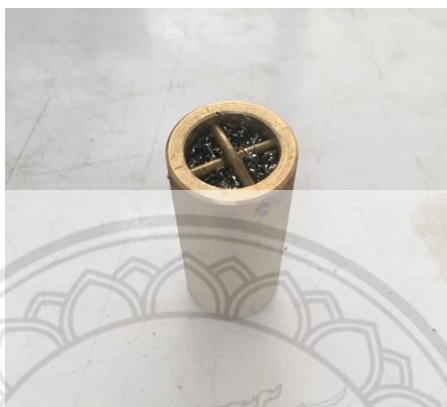
เฟลาขับเคลื่อนที่พัฒนาขึ้นจะมีความสามารถในการเปลี่ยนมุมเฟสของลูกสูบ ได้แก่มุม 90 องศา, 120 องศา, 150 องศา, และ 180 องศา นอกจากนี้ยังทำหน้าที่เป็น Flywheel สะสมพลังงานที่เกิดขึ้นจากการหมุนและถ่ายเทพลังงานที่ได้สะสมเอาไว้ไปหมุนต่อไป ทำให้การหมุนของเฟลาราบเรียบขึ้น



รูปที่ 3.3 เฟลาขับเคลื่อน

3.1.1.3 รีเจนเนอเรเตอร์

รีเจนเนอเรเตอร์ทำจากทองเหลือง มีขนาดเส้นผ่านศูนย์กลางภายใน 18 mm ยาว 50 mm วัสดุในท่อรีเจนเนอเรเตอร์ทำจากสแตนเลสแถบบาง มีความหนา 0.0004 mm ถูกอัดแน่นในท่อจนได้ค่าความพรุน 0.95 จากนั้นใส่ลวดขัดปลายรีเจนเนอเรเตอร์ทั้งสองด้าน เพื่อป้องกันไม่ให้สแตนเลสแถบบางหลุดออกจากรีเจนเนอเรเตอร์ แสดงให้เห็นดังรูปที่ 3.4



รูปที่ 3.4 รีเจนเนอเรเตอร์

3.1.1.5 ระบบขับเคลื่อน

ขับเคลื่อนโดยใช้มอเตอร์กระแสสลับขนาด 5 kW และส่งกำลังจากพูลเลย์ของมอเตอร์ไปยังพูลเลย์ของชุดทดสอบโดยใช้สายพานแบบ Timing belt ดังรูปที่ 3.5 และสามารถควบคุมรอบของมอเตอร์ได้โดยใช้อินเวอร์เตอร์



รูปที่ 3.5 ระบบขับเคลื่อน

3.1.1.4 ชุดระบายไอเสียร้อน

มีการติดตั้งท่อระบายไอเสียร้อน เพื่อระบายไอเสียจาก Burner ในส่วนแลกเปลี่ยนความร้อน ซึ่งจะมีพัดลมดูดอากาศในการช่วยระบายไอเสียร้อนจากชุดทดสอบ



รูปที่ 3.6 ชุดระบายไอเสียร้อน

3.1.1.5 ชุดหล่อเย็นระบบ

น้ำหล่อเย็นจะส่งมาจากเครื่องทำน้ำเย็นขนาด 1.5 HP เพื่อใช้รักษาอุณหภูมิให้กับส่วนระบายความร้อน ดังรูปที่ 3.7



รูปที่ 3.7 เครื่องทำน้ำเย็น

3.1.1.6 ชุดควบคุมอุณหภูมิ

ในชุดควบคุมอุณหภูมิประกอบไปด้วยอุปกรณ์หลักๆคือหัววัดอุณหภูมิ (Thermocouple), เครื่องควบคุมอุณหภูมิ (temperature controlle), เซ็ยวสปาร์คแก๊ส, สวิตซ์ตัด-ต่อวงจรแบบอิเล็กทรอนิกส์ (Relay), อุปกรณ์ควบคุมการปิด-เปิดทางไหลของก๊าซ (Solenoid Valve) ดังรูปที่

การทำงานคือเปิดวาล์วก๊าซ จากนั้นเปิดสวิตช์จุดประกายไฟ ไฟแสดงสถานะจะขึ้นสีน้ำเงิน เมื่อไฟติด การจุดประกายไฟก็จะหยุดลง ไฟแสดงสถานะจะขึ้นสีเขียว



รูปที่ 3.8 ชุดควบคุมอุณหภูมิ

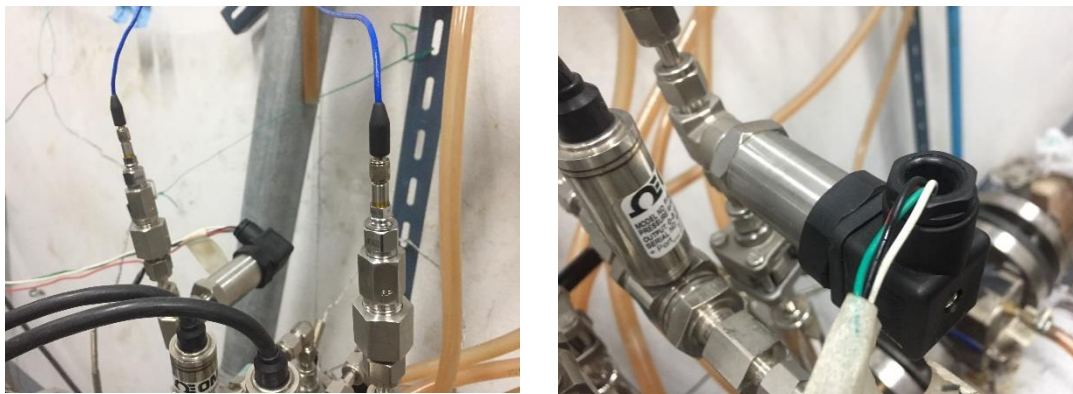
3.1.1.7 อุปกรณ์การวัดค่าต่างๆ ในชุดทดสอบ

การวัดคุณสมบัติต่างๆ ของสารทำงานที่ทางเข้าและทางออกของรีเจนเนอเรเตอร์จากชุดทดสอบทำได้โดยการติดตั้งเซ็นเซอร์ที่ใช้ในการวัดในจุดต่างๆ ดังรูปที่ 3.9 ซึ่งประกอบไปด้วยอุปกรณ์ดังนี้



รูปที่ 3.9 ตำแหน่งการติดตั้งหัววัด

3.1.1.7.1 หัววัดความดัน (Pressure sensor) เป็นหัววัดที่อ่านค่าความดันได้อยู่ในช่วง 0 ถึง 100 บาร์ ทนอุณหภูมิได้ไม่น้อยกว่า 100 °C มีจำนวนทั้งหมด 4 ชุด ซึ่งประกอบไปด้วยหัววัดความดันแบบ Dynamic pressure sensor จำนวน 2 ชุด และหัววัดความดันแบบ Static pressure sensor จำนวน 2 ชุด ดังรูปที่ 3.10



รูปที่ 3.10 หัววัดความดัน (Pressure sensor)

3.1.1.7.2 หัววัดอุณหภูมิ (Thermocouple) หัววัดอุณหภูมิเป็นเซ็นเซอร์แบบ type K ต่อเข้ากับชุดทดสอบ ดังรูปที่ 3.11



รูปที่ 3.11 หัววัดอุณหภูมิ (Thermocouple)

3.1.1.7.3 เครื่องมือวัดอัตราการไหล เป็นเครื่องมือวัดความดันแบบ Differential pressure จำนวน 2 ชุด ทนอุณหภูมิได้สูงถึง 400 °C สามารถวัดอัตราการไหลของสารทำงานในช่วงประมาณ 0 ถึง 90 g/s



รูปที่ 3.12 เครื่องมือวัดอัตราการไหล

3.1.1.8 ชุดอุปกรณ์เก็บข้อมูลสำหรับการทดลอง

ในการเก็บข้อมูลการทดลองจากชุดทดสอบ หัววัดที่ติดตั้งไว้แต่ละชุด จะส่งข้อมูลมายังเครื่องประมวลผลสัญญาณ (Data acquisition) และแสดงผลบนหน้าจอคอมพิวเตอร์ผ่านโปรแกรม Lab view ดังรูปที่ 3.13 สำหรับชุดอุปกรณ์เก็บข้อมูลสำหรับการทดลองจะไปด้วยอุปกรณ์ดังนี้

3.1.1.8.1 คอมพิวเตอร์

3.1.1.8.2 เครื่อง Data Acquisition ทำหน้าที่อ่านค่า Volt จากเซนเซอร์เข้าคอมพิวเตอร์

3.1.1.8.3 Power supply ทำหน้าที่จ่ายกระแสไฟฟ้าให้กับเซนเซอร์

3.1.1.8.4 เครื่อง PCB ทำหน้าที่แปลงประจุไฟฟ้าให้เป็น Volt



รูปที่ 3.13 ชุดอุปกรณ์เก็บข้อมูลสำหรับการทดลอง

3.1.2 วิธีการทดลอง

3.1.2.1 นำรีเจนเนอเรเตอร์ที่ใส่สแตนเลสแถบบาง ค่าความพรุน 0.95 ติดตั้งในชุดทดสอบ จากนั้นติดตั้งหัววัดต่างๆเข้ากับชุดเก็บข้อมูล โดยให้รีเจนเนอเรเตอร์อยู่กึ่งกลางระหว่างหัววัด Pitot tube

3.1.2.2 ตรวจสอบการทำงานของการทำงานของอ่านค่าของชุดเก็บข้อมูลที่ได้มาจากตัวประมวลผลสัญญาณของเซนเซอร์ต่างๆโดยการ Calibrate ค่ากราฟในโปรแกรม Labview โดยให้ Dynamic pressure sensor และ Differential pressure sensor ตัวที่ 1 และ 2 มีค่าเท่ากับ 0 และ Static pressure sensor ตัวที่ 1 และ 2 มีค่าเท่ากับ, 1

3.1.2.3 ตรวจสอบชุดขับเคลื่อนโดยตั้งมุมต่างเฟสของลูบสูบที่ 90 องศา จากนั้นเปิดการทำงานของมอเตอร์ โดยเพิ่มความเร็วรอบขึ้นตั้งแต่ 0 Hz ถึง 20 Hz แล้วค่อยๆลดความเร็วรอบลงจาก 20 Hz จนถึง 0 Hz

3.1.2.4 เปิดเครื่องทำน้ำเย็น ตรวจสอบว่ามีการรั่วซึมหรือไม่ กำหนดให้น้ำเย็นมีอุณหภูมิอยู่ที่ 5 °C จากนั้นปล่อยน้ำหล่อเย็นให้ไหลเวียนในระบบ

3.1.2.5 ทำการเปิด Burner ให้กับส่วนแลกเปลี่ยนความร้อน จนมีอุณหภูมิของรีเจนเนอเรเตอร์อยู่ในช่วงทำงานที่ความแตกต่างอุณหภูมิต่ำ

3.1.2.6 เปิดการทำงานการขับเคลื่อนชุดทดสอบ โดยเริ่มจากความเร็รรอบของลูกสูบที่ 10 Hz จากนั้นทำการเก็บข้อมูลจากโปรแกรม Labview

3.1.2.7 ทำการทดสอบซ้ำในข้อ 3.2.6 โดยลดความเร็รรอบของลูกสูบลงมาที่ 9 Hz จนถึง 2 Hz และทำการเก็บข้อมูลทุกครั้งที่ลดความเร็รรอบของลูกสูบลง

3.1.2.8 นำข้อมูลที่ได้จากการทดสอบทั้งหมด 10 รอบ รอบละ 500 ค่า มาเฉลี่ยเหลือ 1 รอบ จากนั้นนำมาวิเคราะห์หาค่าความเร็วและค่าความดันของสารทำงาน จากข้อมูลทางไฟฟ้าที่ได้จากหัววัดความดัน Differential และ pressure sensor ของทางเข้าและออกรีเจนเนอเรเตอร์ ดังนี้

ก. คำนวณหาค่าความดันสถิต (Static pressure) จากค่าแรงดันไฟฟ้าได้โดยสมการ

$$P_{stat} = \left(\left(ST \times \left(\frac{99}{4.99} \right) \right) + 1 \right) \times 100000 Pa \quad (3.1)$$

ข. หาค่าความดันพลศาสตร์ (Dynamic pressure) จากค่าแรงดันไฟฟ้าได้โดยสมการ

$$P_{dyn} = Dy \times 1376462.49139711 Pa \quad (3.2)$$

ค. คำนวณค่าความดันรวมได้ดัดดวยสมการ

$$P_{tot} = P_{stat} + P_{dyn} \quad (3.3)$$

ง. หาค่าความเร็วอากาศ จากค่าแรงดันไฟฟ้าได้โดยสมการ

$$V = \sqrt{498.7 DF \left(\frac{2}{\rho} \right)} \quad (3.4)$$

โดยที่ DF คือ ค่าแรงดันไฟฟ้าที่ได้จากหัววัด Differential pressure sensor

ความหนาแน่น (ρ) สามารถหาได้จากตารางของเทอร์โมไดนามิกส์ ที่อุณหภูมิจากหัววัดอุณหภูมิภายใต้สถานะหนึ่งความดันบรรยากาศ

3.1.2.9 คำนวณหาผลต่างความดันลดจากของทางเข้าและทางออกของรีเจนเนอเรเตอร์

$$\Delta P = P_2 - P_1 \quad (3.4)$$

โดยที่ $P_1 = P_{tot}$ คือ ความดันรวมด้านทางเข้ารีเจนเนอเรเตอร์

$P_2 = P_{tot}$ คือ ความดันรวมด้านทางออกรีเจนเนอเรเตอร์

3.1.2.10 คำนวณหาอัตราการไหลเชิงมวล (\dot{m}) ที่ทางเข้าและออกของรีเจนเนอเรเตอร์

$$\dot{m} = \rho V A_g \quad (3.5)$$

$$A_g = \frac{e_v \pi D^2}{4} \quad (3.6)$$

โดยที่ V คือ ความเร็วที่ได้คำนวณจาก (ข้อ ง.)

D คือ เส้นผ่านศูนย์กลางภายในของรีเจนเนอเรเตอร์

e_v คือ ค่าความพรุนของรีเจนเนอเรเตอร์ (0.7)

3.1.2.11 คำนวณหาค่าตัวเลขนัมเบอร์ ได้โดยสมการ

$$Va = \frac{2\pi f D_h^2}{v} \quad (3.7)$$

$$D_h = D_w \left(\frac{e_v}{1 - e_v} \right) \quad (3.8)$$

โดยที่ ความหนืดเชิงจลน์ v หาได้จากตารางเทอร์โมไดนามิกส์ ที่อุณหภูมิจากหัววัดอุณหภูมิที่สถานะหนึ่งความดันบรรยากาศ

D_h คือ ขนาดของช่องถักวัสดุพรุนในรีเจนเนอเรเตอร์

D_w คือ เส้นผ่าศูนย์กลางของเส้นลวด

3.1.2.12 คำนวณหาค่าเรโนลด์นัมเบอร์รีเจนเนอเรเตอร์ (Re_1) โดยความเร็วทางเข้าของรีเจนเนอเรเตอร์ และคำนวณหาค่าเรโนลด์นัมเบอร์เฉลี่ยของรีเจนเนอเรเตอร์โดยใช้ความเร็วเฉลี่ยจากความเร็วจึงที่ทางเข้าและทางออกของรีเจนเนอเรเตอร์

$$Re_1 = \frac{\rho_1 V_1 D_h}{\mu} \quad (3.9)$$

$$\text{และ } Re_m = \frac{\rho_2 V_m D_h}{\mu} \quad (3.10)$$

3.1.2.13 คำนวณหาค่าอัตราส่วนการขยายตัวบริเวณทางเข้าของรีเจนเนอเรเตอร์และอัตราส่วนการขยายตัวที่ทางเข้าเฉลี่ยของรีเจนเนอเรเตอร์จากสมการ

$$\varepsilon_1 = \frac{\text{Re}_1}{\text{Va}} \left(\frac{D_h}{L_r} \right) \quad (3.11)$$

$$\varepsilon_m = \frac{\text{Re}_m}{\text{Va}} \left(\frac{D_h}{L_r} \right) \quad (3.12)$$

โดยที่ L_r คือ ความยาวรีเจนเนอเรเตอร์

3.1.2.14 คำนวณหาค่าสัมประสิทธิ์แรงเสียดทานการไหลจากสมการ

$$f_{osc1} = \frac{\Delta P}{2\rho_1 V_1^2} \frac{D_h}{L_r} \quad (3.13)$$

$$f_{oscm} = \frac{\Delta P}{2\rho_m V_m^2} \frac{D_h}{L_r} \quad (3.14)$$

3.1.2.15 คำนวณหาค่า Breathing factor จากสมการ

$$B = \frac{\Delta \dot{m} R T_m}{L_r A_g \partial P_m / \partial t} \quad (3.15)$$

$$\partial P_m / \partial t = \omega P_m \quad (3.16)$$

โดยที่ ω คือ ค่าความถี่เชิงมุม

P_m คือ ค่าความดันรวมเฉลี่ยที่ทางเข้าและทางออกของรีเจนเนอเรเตอร์

3.1.2.16 สร้างกราฟความสัมพันธ์ระหว่างค่าสัมประสิทธิ์แรงเสียดทานการไหล และค่าเรโนลด์นัมเบอร์

3.1.2.17 สร้างกราฟความสัมพันธ์ระหว่างค่าสัมประสิทธิ์แรงเสียดทานการไหล อัตราส่วนการขยายตัวและวาเลนซีนัมเบอร์

3.1.2.18 สร้างกราฟความสัมพันธ์ระหว่างค่าสัมประสิทธิ์แรงเสียดทานการไหล ค่าเรโนลด์นัมเบอร์และ Breathing factor

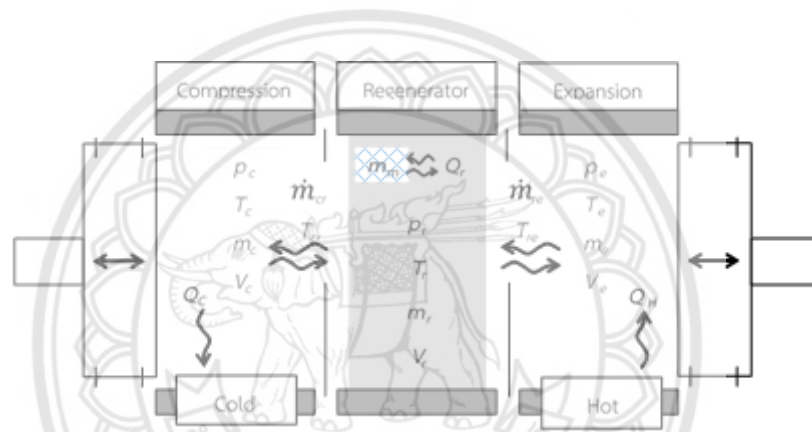
3.1.2.19 คำนวณหาสมการความสัมพันธ์จากกราฟทั้งสามในข้อ 3.2.16 – 3.2.18

3.1.2.20 นำสมการความสัมพันธ์ในข้อ 3.2.19 ไปประยุกต์ใช้ร่วมกับแบบจำลองคณิตศาสตร์แบบ Quasi steady flow ของ Khiaonoi and Kraitong [8]

3.1.2.21 สรุปผลการทดลอง

3.2 แบบจำลองคณิตศาสตร์ของเครื่องยนต์สเตอร์ลิงทำงานที่ความแตกต่างอุณหภูมิต่ำที่คำนึงถึงการไหลแบบกลับไปกลับมา

ในการวิเคราะห์กระบวนการทำงานและการทำนายประสิทธิภาพของเครื่องยนต์สเตอร์ลิงที่อุณหภูมิแตกต่างต่ำ วงจรภายในเครื่องยนต์จะถูกแบ่งเป็นปริมาตรควบคุม แบบจำลองคณิตศาสตร์ลำดับที่สองที่พัฒนาขึ้นจะขึ้นอยู่กับสมการอนุรักษ์พลังงาน สมการอนุรักษ์มวล และสมการของก๊าซ ในอุดมคติ ที่เขียนขึ้นสำหรับแต่ละปริมาตรควบคุม แบบจำลองทางอุณหพลศาสตร์ได้แบ่งปริมาตรภายในของเครื่องยนต์สเตอร์ลิงทำงานที่ความแตกต่างอุณหภูมิแตกต่างต่ำออกเป็นสามส่วน ได้แก่ ส่วนอัด ส่วนขยาย และส่วนรีเจนเนอเรเตอร์ ดังรูปที่ 3.14



รูปที่ 3.14 ทิศทางการไหลของสารที่ทำงานในแบบจำลองคณิตศาสตร์ของ Kraitong [2]

โดยข้อกำหนดของแบบจำลองคณิตศาสตร์มีดังต่อไปนี้

1. การเปลี่ยนแปลงความดันเทียบกับเวลาในแต่ละส่วนมีค่าเท่ากัน
2. ไม่มีของไหลทำงานรั่วไหลออกจากกระบอกสูบ
3. สารที่ทำงานเป็นก๊าซอุดมคติ
4. ไม่มีการถ่ายเทความร้อนที่ผนังของลูกสูบ
5. สภาพการทำงานของเครื่องยนต์คงที่
6. ไม่มีช่องว่างระหว่างตัวดิสเพลสเซอร์และกระบอกสูบ ดังนั้นสารทำงานจะไหลผ่านในรีเจนเนอเรเตอร์เท่านั้น

จากสมมติฐานข้างต้นจะได้สมการที่อธิบายการทำงานของเครื่องยนต์ ลูกสูบและดิสเพลสเซอร์ตามลำดับ ดังนี้

$$x = \frac{x_0}{2}(1 + \cos(\theta - \phi)) \quad (3.17)$$

$$y = \frac{y_0}{2}(1 + \cos \theta) \quad (3.18)$$

เมื่อ	x	คือ ความยาวลูกสูบ (m)
	x_0	คือ ระยะชักลูกสูบ (m)
	y	คือ ความยาวดิสเพลสเซอร์ (m)
	y_0	คือ ระยะชักดิสเพลสเซอร์ (m)
	θ	คือ มุมองศาลูกสูบ
	ϕ	คือ มุมเฟส

โดยปริมาตรของส่วนอัดตัว (Compression space) และส่วนขยายตัว (Expansion space) สามารถคำนวณได้ดังนี้

$$V_c = V_{d-c} + xA_p + (y_0 - y)A_D \quad (3.19)$$

$$V_c = V_{d-c} + \frac{V_{S-P}}{2}(1 + \cos \theta) + \frac{V_{S-D}}{2}(1 - \cos \theta) \quad (3.20)$$

$$V_e = V_{d-e} + yA_D \quad (3.21)$$

$$V_e = V_{d-c} + \frac{V_{S-D}}{2}(1 + \cos \theta) \quad (3.22)$$

โดยที่	A_p	คือ พื้นที่สัมผัสของลูกสูบกำลัง (m ³)
	A_D	คือ พื้นที่สัมผัสของดิสเพลสเซอร์ (m ³)
	V_c	คือ ปริมาตรของส่วนอัด (m ³)
	V_{d-c}	คือ ปริมาตรตายของส่วนอัด (m ³)
	V_{S-P}	คือ ปริมาตรกวาดของลูกสูบกำลัง (m ³)

V_{s-D} คือ ปริมาตรกวาดของลูกสูบไล่ (m^3)

V_e คือ ปริมาตรของส่วนขยาย (m^3)

V_{d-e} คือ ปริมาตรตายของส่วนขยาย (m^3)

สามารถหาอนุพันธ์ของปริมาตรได้ดังนี้

$$\frac{dV_c}{dt} = -\frac{V_{s-P}}{2} \omega \sin(\theta - \varphi) + \frac{V_{s-D}}{2} \omega \sin \theta \quad (3.23)$$

$$\frac{dV_e}{dt} = -\frac{V_{s-D}}{2} \omega \sin \theta \quad (3.24)$$

เมื่อ ω คือ ความเร็วเชิงมุม (rad/s)

t คือ เวลา (s)

โดยอุณหภูมิของสารทำงานระหว่างส่วนอัดกับส่วนรีเจนเนอเรเตอร์สามารถกำหนดได้ดังนี้

$$T_{c-r} = T_c \quad \text{ถ้า } \dot{m}_{c-r} > 0$$

$$T_{c-r} = T_r \quad \text{ถ้า } \dot{m}_{c-r} \leq 0$$

โดยที่ \dot{m}_{c-r} คือ อัตราการไหลของสารทำงานระหว่างส่วนอัดกับส่วนรีเจนเนอเรเตอร์ (kg/s)

T_{c-r} คือ อุณหภูมิของอัตราการไหลของสารทำงานระหว่างส่วนอัดกับรีเจนเนอเรเตอร์ (K)

T_c คือ อุณหภูมิก๊าซในส่วนอัด (K)

T_r คือ อุณหภูมิก๊าซในส่วนรีเจนเนอเรเตอร์ (K)

อุณหภูมิของสารทำงานระหว่างส่วนรีเจนเนอเรเตอร์และส่วนอัดสามารถกำหนดได้ดังนี้

$$T_{r-e} = T_r \quad \text{ถ้า } \dot{m}_{r-e} > 0$$

$$T_{r-e} = T_e \quad \text{ถ้า } \dot{m}_{r-e} \leq 0$$

โดยที่ \dot{m}_{r-e} คือ อัตราการไหลของสารทำงานระหว่างส่วนรีเจนเนอเรเตอร์และส่วนอัด (kg/s)

T_e คือ อุณหภูมิของก๊าซในส่วนขยาย (K)

T_{r-e} คือ อุณหภูมิของอัตราการไหลของสารทำงานระหว่างส่วนรีเจนเนอเรเตอร์และส่วนขยาย (K)

สมการอนุรักษ์พลังงานสำหรับส่วนอัด ส่วนรีเจนเนอเรเตอร์ และส่วนขยาย สามารถแสดงได้ตามลำดับดังสมการต่อไปนี้

$$C_v \frac{d(m_c T_c)}{dt} = dQ_c - \frac{dW_c}{dt} - \dot{m}_{c-r} C_p T_{c-r} \quad (3.25)$$

$$C_v \frac{d(m_r T_r)}{dt} = dQ_r - dQ_{loss,disip-r} + \dot{m}_{c-r} C_p T_{c-r} - \dot{m}_{r-e} C_p T_{r-e} \quad (3.26)$$

$$C_v \frac{d(m_e T_e)}{dt} = dQ_H - \frac{dW_e}{dt} + \dot{m}_{r-e} C_p T_{r-e} \quad (3.27)$$

เมื่อ \dot{m}_c คือ มวลของก๊าซในส่วนอัด (kg)

\dot{m}_r คือ มวลของก๊าซในส่วนรีเจนเนอเรเตอร์ (kg)

m_e คือ มวลของก๊าซในส่วนขยาย (kg)

Q_c คือ อัตราการถ่ายเทความร้อนในส่วนระบายความร้อน (W)

Q_r คือ อัตราการถ่ายเทความร้อนในส่วนรีเจนเนอเรเตอร์ความร้อน (W)

Q_H คือ อัตราการถ่ายเทความร้อนในส่วนรับความร้อน (W)

$Q_{loss,disip-r}$ คือ การสูญเสียความร้อน เนื่องจากแรงเสียดทานการไหลของรีเจนเนอเรเตอร์ (W)

W_c คือ งานที่เกิดขึ้นโดยก๊าซในส่วนอัด (J)

W_e คือ งานที่เกิดขึ้นโดยก๊าซในส่วนขยาย (J)

งานที่เกิดขึ้นโดยก๊าซในส่วนอัดและส่วนขยายสามารถคำนวณได้ตามลำดับ โดยสมการ

$$\frac{dW_c}{dt} = p_c \frac{dV_c}{dt} \quad \text{และ} \quad \frac{dW_e}{dt} = p_e \frac{dV_e}{dt} \quad (3.28)$$

เมื่อพิจารณาสมการ Ideal gas ($pV = mRT$) และคุณสมบัติของก๊าซซึ่งคำนวณได้จาก

$R = C_p - C_v$ โดยที่ $\gamma = \frac{C_p}{C_v}$ อัตราการไหลเชิงมวลของสารทำงานโดยสมการอนุรักษ์พลังงาน

สามารถคำนวณได้ด้วยสมการดังต่อไปนี้

อัตราการไหลเชิงมวลระหว่างปริมาตรควบคุมของส่วนอัดตัวและส่วนระบายความร้อน

$$\dot{m}_{c-r} = -\frac{1}{RT_{c-r}} \left(-\frac{R}{C_p} dQ_C + p_c \frac{dV_c}{dt} + \frac{V_c}{\gamma} \frac{dp}{dt} \right) \quad (3.29)$$

อัตราการไหลเชิงมวลระหว่างปริมาตรควบคุมของส่วนระบายความร้อนและรีเจนเนอเรเตอร์

$$\dot{m}_{r-e} = \frac{1}{RT_{r-e}} \left(-\frac{R}{C_p} dQ_H + p_e \frac{dV_e}{dt} + \frac{V_e}{\gamma} \frac{dp}{dt} \right) \quad (3.30)$$

เมื่อ	R	คือ ค่าคงที่ของก๊าซ
	C_p	คือ ค่าความจุความร้อนจำเพาะที่ความดันคงที่ (J/ kgK)
	C_v	คือ ค่าความจุความร้อนจำเพาะที่ปริมาตรคงที่ (J/ kgK)
	P	คือ ความดันก๊าซในเครื่องยนต์ (Pa)
	p_c	คือ ความดันก๊าซในส่วนอัด (Pa)
	p_e	คือ ความดันก๊าซในส่วนขยาย (Pa)

หากรวมสมการอนุรักษ์พลังงานสำหรับแต่ละพื้นที่เข้าด้วยกัน จะสามารถหาอนุพันธ์ความดันได้ตามสมการนี้

$$\frac{dp}{dt} = \frac{1}{C_v V_T} \left(R(dQ_H + dQ_r + dQ_C - dQ_{loss,disip-r}) - C_p \left(p_c \frac{dV_c}{dt} + p_e \frac{dV_e}{dt} \right) \right) \quad (3.31)$$

เมื่อ V_T คือผลรวมปริมาตรก๊าซในเครื่องยนต์ (m^3)

นอกจากนี้สมการอนุรักษ์พลังงานสำหรับวัสดุพูนในรีเจนเนอเรเตอร์สามารถเขียนได้ดังนี้

$$m_m C_p \frac{dT_m}{dt} = -dQ_r \quad (3.32)$$

ดังนั้นอนุพันธ์ของอุณหภูมิในส่วนของวัสดุพูนในรีเจนเนอเรเตอร์แต่ละส่วนสามารถคำนวณได้ดังนี้

$$\frac{dT_m}{dt} = \frac{1}{m_m C_p} (-dQ_r) \quad (3.33)$$

เมื่อ m_m คือ มวลของวัสดุพูนในรีเจนเนอเรเตอร์

T_m คือ อุณหภูมิของวัสดุพูนในรีเจนเนอเรเตอร์

สมการอนุรักษ์มวลของสารทำงานสามารถแสดงได้ดังนี้

$$\frac{dm_c}{dt} = -\dot{m}_{c-r} \quad \text{สมการอนุรักษ์มวลของส่วนอัดตัว} \quad (3.34)$$

$$B \frac{dm_r}{dt} = \dot{m}_{c-r} - \dot{m}_{r-e} \quad \text{สมการอนุรักษ์มวลส่วนระบายความร้อน} \quad (3.35)$$

$$\frac{dm_e}{dt} = \dot{m}_{r-e} \quad \text{สมการอนุรักษ์มวลของรีเจนเนอเรเตอร์} \quad (3.36)$$

จากสมการ Ideal gas อุณหภูมิของก๊าซในส่วนอัด ส่วนรีเจนเนอเรเตอร์ และส่วนขยาย สามารถคำนวณได้ตามลำดับ ดังนี้

$$T_c = \frac{p_c V_c}{Rm_c} \quad (3.37)$$

$$T_r = \frac{p_r V_r}{Rm_r} \quad (3.38)$$

$$T_e = \frac{p_e V_e}{Rm_e} \quad (3.39)$$

เมื่อ V_r คือปริมาตรก๊าซในรีเจนเนอเรเตอร์ (m^3)

p_r คือความดันก๊าซในรีเจนเนอเรเตอร์ (Pa)

ส่วนการคำนวณหาความดันตกคร่อมในรีเจนเนอเรเตอร์ สามารถคำนวณได้ดังสมการนี้

$$-\frac{\Delta p_{r(i)}}{\Delta x} = -\frac{2}{D_h} \frac{X_m^2}{\rho A_g^2} f_{oscm} \sin(\omega t + \theta_m) \quad (3.40)$$

ความร้อนที่เกิดในรีเจนเนอเรเตอร์โดยแรงเสียดทานการไหล แสดงได้ดังนี้

$$Q_{loss,disip} = \frac{\Delta p \dot{m}}{\rho} \quad (3.41)$$

เมื่อ $Q_{loss,disip}$ คือ ความร้อนสูญเสียเนื่องจากแรงเสียดทานการไหล (W)

\dot{m} คือ อัตราการไหล (kg/s)

ρ คือ ความหนาแน่น (kg/m³)

สมการความดันตกที่เกิดขึ้นในรีเจนเนอเรเตอร์และส่วนขยายที่ถูกพิจารณาภายใต้การไหลแบบกลับไปกลับมา แสดงได้ดังนี้

$$p_r = p_c + \frac{\Delta p_r}{2} \quad (3.42)$$

$$p_e = p_r + \frac{\Delta p_r}{2} \quad (3.43)$$

เมื่อ Δp_r คือ ความดันตกคร่อมที่เกิดขึ้นในรีเจนเนอเรเตอร์ (Pa)

อัตราการถ่ายเทความร้อนในแต่ละพื้นที่ที่สามารถคำนวณได้ดังนี้

$$dQ_H = h_H A_{h-H} (T_H - T_c) \quad (3.44)$$

$$dQ_r = e_{eff} h_m A_{h-m} (T_m - T_r) \quad (3.45)$$

$$dQ_C = h_C A_{h-C} (T_C - T_c) \quad (3.46)$$

เมื่อ e_{eff} คือ ประสิทธิภาพของรีเจนเนอเรเตอร์

h_H คือ ค่าสัมประสิทธิ์การถ่ายเทความร้อนในส่วนให้ความร้อน (W/m²K)

h_m คือ ค่าสัมประสิทธิ์การถ่ายเทความร้อนของวัสดุพูนในรีเจนเนอเรเตอร์ (W/m²K)

h_C คือ ค่าสัมประสิทธิ์การถ่ายเทความร้อนในส่วนระบายความร้อน (W/m²K)

T_H คือ อุณหภูมิของส่วนให้ความร้อน (K)

T_C คือ อุณหภูมิของส่วนระบายความร้อน (K)

A_{h-H} คือ พื้นที่ถ่ายเทความร้อนของส่วนให้ความร้อน (m^2)

A_{h-C} คือ พื้นที่ถ่ายเทความร้อนของส่วนระบายความร้อน (m^2)

A_{h-m} คือ พื้นที่ถ่ายเทความร้อนของวัสดุพูน (m^2)

พิจารณาถึงการสูญเสียความร้อนเนื่องจากการพาความร้อนสู่พื้นผิวสามารถคำนวณได้โดยสมการต่อไปนี

$$\alpha \dot{Q}_i = \varepsilon \sigma (T_H^4 - T_0^4) + h_o (T_H - T_o) + h_H (T_H - T_e) \quad (3.47)$$

ค่าสัมประสิทธิ์การถ่ายเทความร้อนระหว่างเพลทและสารทำงานในส่วนขยายและส่วนอัดที่สามารถกำหนดได้เช่นเดียวกับการถ่ายเทความร้อนในกระบอกสูบของเครื่องยนต์ลูกสูบ ดังสมการต่อไปนี้

$$h = 2.43 V_p^{1/3} (p_{inst} T_g)^{1/2} \quad (3.48)$$

เมื่อ h คือ ค่าสัมประสิทธิ์การถ่ายเทความร้อน (W/m^2K)

V_p คือ ความเร็วลูกสูบเฉลี่ย (m/s)

p_{inst} คือ ความดันในกระบอกสูบในขณะนั้น (bar)

T_g คือ อุณหภูมิของสารทำงาน (K)

ค่าสัมประสิทธิ์การถ่ายเทความร้อนเฉลี่ยระหว่างวัสดุพูนและสารทำงานในรีเจนเนอเรเตอร์ที่แสดงโดย Tanaka et al. [6] เป็นไปตามสมการดังนี้

$$\overline{Nu} = 0.33 \overline{Re}^{0.67} \quad (3.49)$$

$$NTU = \frac{4 \overline{Nu} H_D}{Pr \overline{Re} h} \quad (3.50)$$

$$\overline{h}_m = \frac{NTUC_p \dot{m}}{A_{h-m}} \quad (3.51)$$

เมื่อ \overline{Nu} คือ นัสเซลน์มเบอร์เฉลี่ย

\overline{Re} คือ เรโนลด์น์มเบอร์เฉลี่ย

NTU คือ จำนวนของ transfer units

H_D คือ ความหนาของรีเจนเนอเรเตอร์ (m)

Pr คือ พรีนัมเบอร์

\bar{h}_m คือ ค่าสัมประสิทธิ์การถ่ายเทความร้อนเฉลี่ยบนพื้นผิวของวัสดุพูน (W/m^2K)

A_{h-m} คือ คีอพื้นที่ถ่ายเทความร้อนในวัสดุพูน (m^2)

ประสิทธิภาพของการแลกเปลี่ยนความร้อนในรีเจนเนอเรเตอร์ สามารถคำนวณได้ดังนี้

$$e_{eff} = \frac{NTU}{NTU + 2} \quad (3.52)$$

งานที่ได้จากเครื่องยนต์สามารถคำนวณได้ดังนี้

$$\frac{dW_i}{dt} = \frac{dW_c}{dt} + \frac{dW_e}{dt} = p_c \frac{dV_c}{dt} + p_e \frac{dV_e}{dt} \quad (3.53)$$

งานทางทฤษฎีของวัฏจักร (Cyclic indicated work) สามารถคำนวณได้

$$W_i = \oint \left(\frac{dW_i}{dt} \right) dt = \int_0^\tau \left(\frac{dW_c}{dt} + \frac{dW_e}{dt} \right) dt = \int_0^\tau \left(p_c \frac{dV_c}{dt} + p_e \frac{dV_e}{dt} \right) dt \quad (3.54)$$

โดยที่ p_c คือ ความดันของสารทำงานในส่วนการอัด (Pa)

p_e คือ ความดันของสารทำงานในส่วนการขยาย (Pa)

V_c คือ ปริมาตรในส่วนการอัด (m^3)

V_e คือ ปริมาตรในส่วนการขยาย (m^3)

W_c คือ งานที่เกิดในส่วนการอัด (J)

W_e คือ งานที่เกิดในส่วนการขยาย (J)

W_i คือ งาน (J)

τ คือ เวลาในหนึ่งวัฏจักร (s)

กำลังบ่งชี้ของวัฏจักร (Cyclic indicated power)

$$P_i = W_i f \quad (3.55)$$

โดยที่ f คือ ความถี่ (Hz)
 P_i คือ กำลัง (W)
 W_i คือ งาน (J)

Free body diagram ของกลไกการส่งผ่านของเครื่องยนต์ลูกสูบแสดงได้ดังรูป มุม, β และความเร็วเชิงมุมของข้อเหวี่ยง สามารถหาได้จาก

$$\beta = \theta - \pi \quad (3.56)$$

$$\dot{\beta} = \dot{\theta} \quad (3.57)$$

ภาระตามแนวแกนของลูกสูบ คำนวณได้จาก

$$Q_{pi}(t) = (F_r + \mu_{k-pi} |S_{pi}| + F_{Load}) \quad (3.58)$$

เมื่อ $Q_{pi}(t)$ คือ ภาระตามแนวแกนของลูกสูบ (N)

F_r คือ แรงเสียดทานในแหวนลูกสูบ (N)

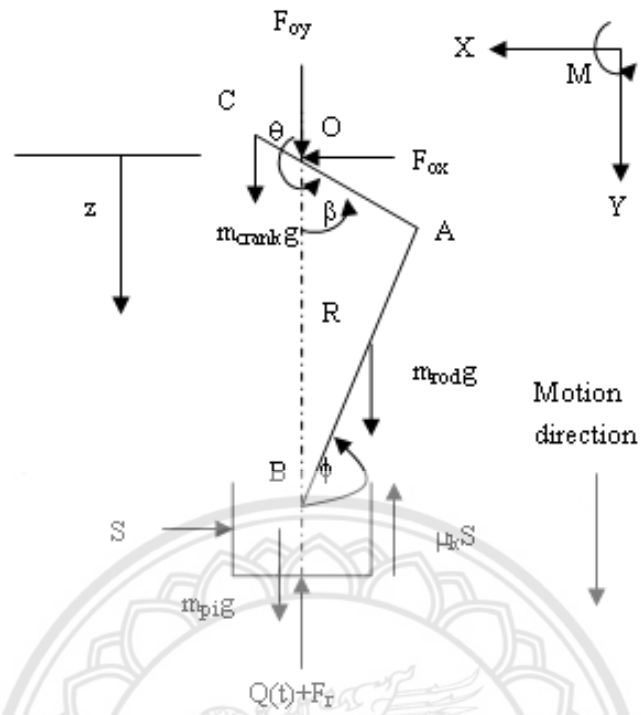
μ_{k-pi} คือ สัมประสิทธิ์แรงเสียดทานในคัปปลิงของลูกสูบ (N)

S_{pi} คือ แรงกระทำที่ด้านข้างของลูกสูบ (N)

F_{Load} คือ โหลดภายนอก (N)

โหลดภายนอกที่กระทบลูกสูบสามารถคำนวณได้จาก

$$F_{Load-P} = p_c A_p - p_a A_p \quad (3.59)$$



รูปที่ 3.15 Free body diagram ของกลไกการส่งกำลังของเครื่องยนต์ลูกสูบ [2]

ภาระภายนอกที่กระทำบนดิสเพลสเซอร์สามารถคำนวณได้จาก

$$F_{Load-D} = p_e A_{D-e} - p_c A_{D-c} \quad (3.60)$$

เมื่อ p_a คือ ความกดอากาศ (Pa)

A_{D-e} คือ พื้นที่สัมผัสของดิสเพลสเซอร์ (m^2)

A_{D-c} คือ พื้นที่สัมผัสของส่วนอัด (m^2)

แรงรัศมีในเพลลาข้อเหวี่ยงและแรงต้านข้างของพื้นผิวลูกสูบที่ความเร็วเครื่องยนต์คงที่ สามารถคำนวณหาได้จาก

$$F_{Ox} = -r\dot{\beta}^2 \sin\beta (m_{crank} h_{pi} - m_{rod} (l - j)) + S_{pi} \quad (3.61)$$

$$F_{Oy} = r\dot{\beta}^2 \left[m_{pi} \left(\frac{r \cos^2 \beta}{l_{rod} \cos^3 \phi} - \sin \beta \tan \phi - \cos \beta \right) + m_{rod} \left(\frac{jr \cos^2 \beta}{l_{rod} \cos^3 \phi} - j \sin \beta \tan \phi - \cos \beta \right) + m_{crank} L \cos \beta \right] - g(m_{pi} + m_{rod} + m_{crank}) + F_r + \mu_{k-pi} |S_{pi}| + p_g A_{pi} - p_a A_{pi} \quad (3.62)$$

$$S_{pi} = \frac{\left[-r\dot{\beta}^2 \left[\frac{I_{rod}}{(l_{rod} \cos \phi)^2} \left(\frac{r \cos^2 \beta \tan \phi}{l_{rod} \cos \phi} - \sin \beta \right) + m_{pi} \tan \phi \left(\frac{r \cos^2 \beta}{l_{rod} \cos^3 \phi} - \sin \beta \tan \phi - \cos \beta \right) + jm_{rod} \left(\frac{jr \cos^2 \beta \tan \phi}{l_{rod} \cos^3 \phi} - \cos \beta \tan \phi + \sin \beta - \frac{j \sin \beta}{\cos^2 \phi} \right) \right] + g \tan \phi (m_{pi} + jm_{rod}) - F_r \tan \phi - p_g A_{pi} \tan \phi + p_a A_{pi} \tan \phi \right]}{D_{pi}} \quad (3.63)$$

เมื่อ

- A_{pi} คือ พื้นที่สัมผัสของลูกสูบ (m^2)
- F_{ox} คือ แรงกระทำต่อเพลาช้อเหวี่ยงในแกน X (N)
- F_{oy} คือ แรงกระทำต่อเพลาช้อเหวี่ยงในแกน Y (N)
- g คือ ความเร่งเนื่องจากแรงโน้มถ่วง (m/s^2)
- I_{rod} คือ ความเฉื่อยของก้านสูบ ($kg \cdot m^2$)
- J คือ อัตราส่วนความยาวของ AR และ AB ที่แสดงในรูปแบบที่
- l_{rod} คือ ความยาวของก้านสูบ (m)
- L คือ อัตราส่วนความยาวของ OC และ OA ที่แสดงในรูปแบบที่
- m_{pi} คือ มวลของลูกสูบ (kg)
- m_{crank} คือ มวลของช้อเหวี่ยงในลูกสูบกำลัง (kg)
- m_{rod} คือ มวลของแกนเชื่อมต่อในลูกสูบกำลัง (kg)
- r คือ ระยะเหวี่ยง (OA) ของลูกสูบ (m)

D_{pi} สามารถคำนวณได้จาก

$$D_{pi} D = 1 + \mu_{k-pi} \tan \phi \quad \left\{ \begin{array}{l} \dot{z}_{pi} \geq 0, S_{pi} \geq 0 \\ \dot{z}_{pi} < 0, S_{pi} < 0 \end{array} \right\} \quad (3.64)$$

$$D_{pi} = 1 - \mu_{k-pi} \tan \phi \quad \left\{ \begin{array}{l} \dot{z}_{pi} \geq 0, S_{pi} < 0 \\ \dot{z}_{pi} < 0, S_{pi} \geq 0 \end{array} \right\} \quad (3.65)$$

เมื่อ μ_{k-pi} คือ ค่าสัมประสิทธิ์แรงเสียดทานระหว่างลูกสูบกับกระบอกลูกสูบที่หล่อลื่นด้วยน้ำมัน มีค่าเท่ากับ 0.3

\dot{z}_{pi} คือ ความเร็ว stroke ของลูกสูบ (m/s)

แรงเสียดทานในแหวนซีลของแกนดิสเพลสเซอร์สามารถหาได้จาก

$$F_r = F_{frs1} + F_{frs2} \quad (3.66)$$

เมื่อ F_{frs1} คือ แรงเสียดทานในแหวนซีลตัวแรก (N)

F_{frs2} คือ แรงเสียดทานในแหวนซีลตัวที่สอง (N)

ถ้า $p_c \geq p_{br}$

$$F_{frs1} = \mu_{sd} \pi H \left((p_c + p_{spr}) d'_s - 0.9 \bar{p}_{es1} d_s \right) \quad (3.67)$$

ถ้า $p_c \leq p_{br}$

$$F_{frs1} = \mu_{sd} \pi H \left((p_{br} + p_{spr}) d'_s - 0.9 \bar{p}_{es1} d_s \right) \quad (3.68)$$

ถ้า $p_{br} \geq p_{c-c}$

$$F_{frs2} = \mu_{sd} \pi H \left((p_{br} + p_{spr}) d'_s - 0.9 \bar{p}_{es2} d_s \right) \quad (3.69)$$

ถ้า $p_{br} \leq p_{c-c}$

$$F_{frs2} = \mu_{sd} \pi H \left((p_{c-c} + p_{spr}) d'_s - 0.9 \bar{p}_{es2} d_s \right) \quad (3.70)$$

d_s คือ เส้นผ่านศูนย์กลางของก้านดิสเพลสเซอร์ (m)

d'_s คือ ปีนเส้นผ่าศูนย์กลางภายในของวงแหวนซีล (m)

H คือ ความสูงของแหวนซีล (m)

p_{br} คือ ความดันของก๊าซที่อยู่ระหว่างแหวนซีลตัวแรกและตัวที่สอง (Pa)

p_{spr} คือ ความดันเพิ่มบนวงแหวนซีล (Pa)

p_{c-c} คือ แรงดันแก๊สใน Crankcase (Pa)

\bar{p}_{es1} คือ ความดันแก๊สเฉลี่ยที่ผิวด้านนอกของวงแหวนตัวแรก (Pa)

\bar{p}_{es2} คือ ความดันแก๊สเฉลี่ยที่ผิวด้านนอกของวงแหวนตัวที่สอง (Pa)

μ_{sd} คือ ค่าสัมประสิทธิ์แรงเสียดทานระหว่างวงแหวนซีลและแกนของดีเซลเพลสเซอร์ (Pa)

ความดันก๊าซระหว่างซีลตัวแรกและซีลตัวที่สอง สามารถคำนวณได้ดังนี้

$$p_{br} = \frac{1}{2}(p_{c-c} + p_c) \quad (3.71)$$

ความดันที่พื้นผิวด้านนอกของวงแหวนสันนิษฐานได้ว่ามีการกระจายเชิงเส้นเกิดขึ้นตามสมการนี้

$$\bar{p}_{es1} = \frac{1}{2}(p_c + p_{br}) \quad (3.72)$$

$$\bar{p}_{es2} = \frac{1}{2}(p_{c-c} + p_{br}) \quad (3.73)$$

ในการกำหนดกำลังเบรคของเครื่องยนต์จะต้องคำนวณแรงบิดทั้งหมดบนเพลลาข้อเหวี่ยง เครื่องยนต์สเตอร์ลิงแบบแกมมีสองลูกสูบเชื่อมกับเพลลาข้อเหวี่ยง, ลูกสูบกำลังและดีเซลเพลสเซอร์ งานที่กระทำโดยลูกสูบกำลังจะถูกถ่ายโอนไปยังเพลลาข้อเหวี่ยงและมู่เล่ มู่เล่ก็จะถ่ายโอนพลังงาน สะสมกลับไปยังสารทำงาน โดยสามารถคำนวณแรงบิดทั้งหมดในเพลลาข้อเหวี่ยงได้ดังนี้

$$Tor_T = \Sigma Tor \quad (3.74)$$

เมื่อ Tor_T คือ แรงบิดลูกสูบทั้งหมด (Nm)

Tor คือ แรงบิดลูกสูบ (Nm)

แรงบิดจากลูกสูบกำลังแต่ละอันและดิสเพลสเซอร์ (Tor) ที่ความเร็วรอบเครื่องยนต์คงที่ สามารถคำนวณได้โดยใช้สมการต่อไปนี้

$$Tor = \frac{1}{2} \dot{\beta}^2 I'(\beta) + g(\beta) + Q(t, \beta) \quad (3.75)$$

เมื่อ $I'(\beta)$ คือ อัตราการเปลี่ยนแปลงของความเฉื่อย

$g(\beta)$ คือ แรงบิดโน้มถ่วง

$$\begin{aligned} I'(\beta) = & 2I_{rod} E(\mu_{k-pi}) \left(\frac{r \cos \beta}{l_{rod} \cos \phi} \right)^2 \left(\frac{r \cos \beta}{l_{rod} \cos \phi} \tan \phi - \tan \beta \right) \\ & + 2m_{pi} r^2 (E(\mu_{k-pi}) \cos \beta \tan \phi - \sin \beta) \left(\frac{r \cos^2 \beta}{l_{rod} \cos^3 \phi} - \cos \beta - \sin \beta \tan \phi \right) \\ & - 2m_{rod} r^2 (1-j)^2 \sin \beta \cos \beta + 2m_{rod} r^2 (j E(\mu_{k-pi}) \cos \beta \tan \phi - \sin \beta) \\ & \left(\frac{j r \cos^2 \beta}{l_{rod} \cos^3 \phi} - \cos \beta - j \sin \beta \tan \phi \right) \end{aligned} \quad (3.76)$$

$$g(\beta) = gr \left[\begin{array}{l} m_{pi} (E(\mu_{k-pi}) \cos \beta \tan \phi - \sin \beta) + m_{rod} (j E(\mu_{k-pi}) \cos \beta \tan \phi - \sin \beta) \\ + m_{crank} L \sin \beta \end{array} \right] \quad (3.77)$$

ค่าแรงบิดของแรงโน้มถ่วงนั้นได้รับอิทธิพลเพิ่มจากแรงเสียดทานระหว่างลูกสูบและผิวกระบอกสูบซึ่งไม่ได้เป็นศูนย์ตลอดวัฏจักร ซึ่งส่งผลให้รอบของแรงบิดแรงโน้มถ่วงไม่เป็นศูนย์

ภาระแรงบิด ($Q(t, \beta)$) ของลูกสูบสามารถคำนวณหาได้ดังนี้

$$Q(t, \beta) = (F_r + F_{Load}) r (E(\mu_{k-pi}) \cos \beta \tan \phi - \sin \beta) \quad (3.78)$$

เมื่อ

$$E(\mu_{k-pi}) = \frac{1 + \mu_{k-pi} \tan \beta}{1 + \mu_{k-pi} \tan \phi} \quad \left\{ \begin{array}{l} \dot{z}_{pi} \geq 0, S_{pi} \geq 0 \\ \dot{z}_{pi} < 0, S_{pi} < 0 \end{array} \right\} \quad (3.79)$$

$$E(\mu_{k-pi}) = \frac{1 - \mu_{k-pi} \tan \beta}{1 - \mu_{k-pi} \tan \phi} \quad \left\{ \begin{array}{l} \dot{z}_{pi} \geq 0, S_{pi} < 0 \\ \dot{z}_{pi} < 0, S_{pi} \geq 0 \end{array} \right\} \quad (3.80)$$

การสูญเสียเชิงกลเนื่องจากแรงเสียดทานในแบร็งหาได้จาก

$$Tor_B = \mu_{k-B} F_O \frac{D_B}{2} \quad (3.81)$$

เมื่อ Tor_B คือ แรงบิดสูญเสียในแบร็ง (Nm)

μ_{k-B} คือ ค่าสัมประสิทธิ์แรงเสียดทานในแบร็ง มีค่าเท่ากับ 0.0015

D_B คือ เส้นผ่าศูนย์กลางแบร็ง (m)

F_O คือ แรงที่กระทำต่อแบร็ง (N)

สามารถคำนวณแรงแบบสัมบูรณ์ที่กระทำกับลูกปืนแบร็งได้ดังนี้

$$\vec{F}_O = \vec{F}_{O-P} + \vec{F}_{O-D} \quad (3.82)$$

เมื่อ \vec{F}_{O-P} คือ ผลรวมเวกเตอร์แรงทั้งหมดที่กระทำต่อเพลาคือเหวี่ยงจากด้านข้างลูกสูบกำลัง (N)

\vec{F}_{O-D} คือ ผลรวมเวกเตอร์แรงทั้งหมดที่กระทำต่อเพลาคือเหวี่ยงจากด้านข้างดิสเพลสเซอร์ (N)

งานของ cyclic brake สามารถหาได้ดังนี้

$$W_b = \oint \left(\frac{dW_b}{dt} \right) dt = \int_0^{\tau} \left((Tor_T - Tor_B) \frac{d\theta}{dt} \right) dt \quad (3.83)$$

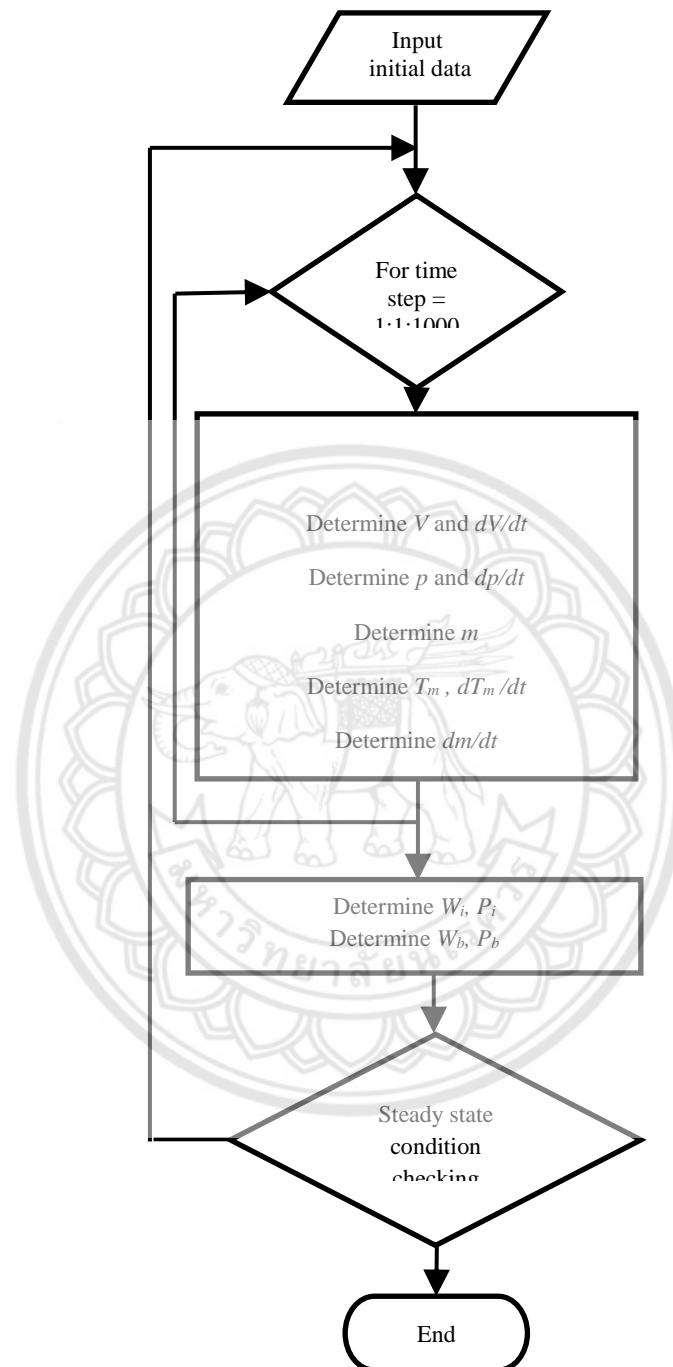
และกำลังของ cyclic brake สามารถหาได้ดังนี้

$$P_b = W_b f \quad (3.84)$$

รูปที่ 3.16 คือแผนผังลำดับงานของการจำลองเชิงตัวเลข สำหรับการจำลองเชิงตัวเลขข้างต้น ทำโดยใช้โปรแกรม MATLAB บนคอมพิวเตอร์ ค่าพารามิเตอร์ต่างๆ ของเครื่องยนต์จะเป็นข้อมูล input ที่ใช้เริ่มต้นในการคำนวณ ในช่วงเริ่มต้นของการทำแบบจำลอง อุณหภูมิของก๊าซในส่วนอัดจะ

ถูกตั้งค่าให้เท่ากับอุณหภูมิคงที่ของ cold plate และอุณหภูมิของก๊าซในส่วนขยายจะถูกตั้งค่าให้เท่ากับอุณหภูมิของ hot plate ในการแก้ปัญหาเชิงตัวเลขของชุดสมการเชิงอนุพันธ์ (Eq.3.12 และ Eq.3.14-3.17) จะทำให้ได้ค่าความดันในส่วนอัด, มวลของก๊าซในแต่ละส่วน และอุณหภูมิของแหล่งกำเนิดในรีเจนเนอเรเตอร์ หลังจากนั้นค่าความดันตกคร่อมในรีเจนเนอเรเตอร์และค่าสัมประสิทธิ์การถ่ายเทความร้อนบนพื้นผิวทั้งหมดของ hot plate และ cold plate และแหล่งกำเนิดความร้อนจะถูกใช้คำนวณหาอัตราการถ่ายเทความร้อน อุณหภูมิของก๊าซในแต่ละส่วนคำนวณโดยใช้สมการของก๊าซอุดมคติ (Eq.3.18-3.20) แรงบิดทั้งหมดของเพลาช้อเหวี่ยงคำนวณโดยใช้สมการ Eq.3.37- Eq.3.61 ในการคำนวณ โปรแกรมคอมพิวเตอร์จะคำนวณเป็น 1,000 ส่วนใน 1 รอบ จนกว่าถึงสภาวะสมดุล





รูปที่ 3.16 แผนผังแสดงผังขั้นตอนของโปรแกรมในการทำนายสมรรถนะของเครื่องยนต์สเตอร์ลิง [2]

บทที่ 4

ผลการวิจัย

ผลการทดลองจากชุดทดสอบการไหลในรีเจนเนอเรเตอร์และผลการจำลองเชิงตัวเลขด้วยแบบจำลองทางคณิตศาสตร์ที่ถูกพัฒนาขึ้นถูกแสดงไว้ในบทนี้ โดยมีรายละเอียดดังต่อไปนี้

4.1 ผลการทดลองจากชุดทดสอบการไหลในรีเจนเนอเรเตอร์

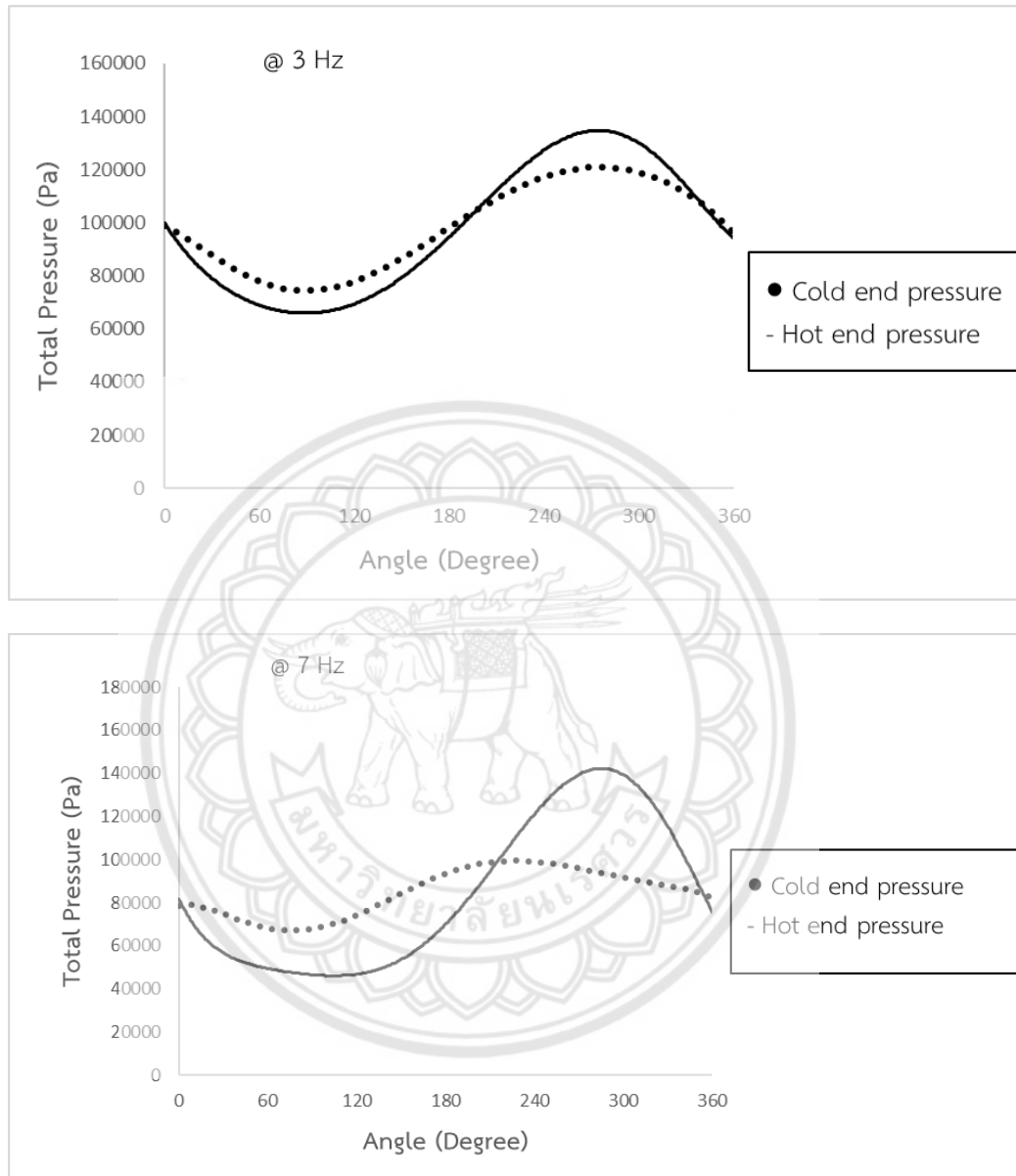
การทดลองการไหลจากชุดทดสอบรีเจนเนอเรเตอร์ ใช้อากาศเป็นสารทำงานให้กับชุดทดสอบสภาวะความดัน 1 Bar โดยเก็บข้อมูลการทดลองในช่วงความเร็วรอบลูกสูบด้วยความถี่ 2-10 Hz ที่อุณหภูมิแตกต่างกัน กำหนดให้สภาวะการทำงานของสารทำงานในรีเจนเนอเรเตอร์ที่ช่วงอุณหภูมิ 60-80 °C วัสดุภายในรีเจนเนอเรเตอร์เป็นแถบโลหะบาง ที่มีค่าความพรุนเท่ากับ 0.95 มุมต่างเฟสของลูกสูบเท่ากับ 90 องศา

ซึ่งผลการทดลองแสดงเป็นค่าการเคลื่อนเฟส (Phase shift) ของตัวแปรการทำงานที่ประกอบไปด้วยความดันของสารทำงานและอัตราการไหลของสารทำงานทางด้านรับความร้อนและทางด้านระบายความร้อนของรีเจนเนอเรเตอร์

4.1.1 การเคลื่อนเฟสของตัวแปรการทำงานของสารทำงาน

การเคลื่อนเฟสของความดัน

จากผลการทดลองการไหลที่ได้พบว่าการเปลี่ยนแปลงตามคาบการเคลื่อนที่ของความดันมีรูปแบบเดียวกันในทุกชุดข้อมูลที่เก็บค่าได้ โดยการแปลงความดันของสารทำงานทั้งทางด้านรับความร้อนและทางด้านระบายความร้อนของรีเจนเนอเรเตอร์ใช้แถบโลหะบางที่ความเร็วรอบ 3 Hz และ 7 Hz แสดงได้ดังรูปที่ 4.1 ส่วนข้อมูลที่ความเร็วรอบอื่นถูกนำไปแสดงไว้ในภาคผนวก



รูปที่ 4.1 แสดงกราฟข้อมูลการเปลี่ยนแปลงความดันของสารทำงานที่ด้านรับความร้อนและทางด้านระบายความร้อนของรีเจนเนอเรเตอร์ ใช้แถบโลหะบาง ที่ความเร็วรอบ 3 Hz และ 7 Hz

จากรูปที่ 4.1 จะเห็นได้ว่าค่าความดันของสารทำงานเมื่อมีการไหลกลับไปกลับมาผ่านรีเจนเนอเรเตอร์ทั้งที่ทางด้านรับความร้อนและทางด้านระบายความร้อนของรีเจนเนอเรเตอร์มีลักษณะการเคลื่อนที่เป็นแบบคลื่นรูปไซน์ (Sinusoidal motion) เมื่อพิจารณาการเปลี่ยนแปลงความดันของสารทำงานที่ไหลผ่านรีเจนเนอเรเตอร์ พบว่าความดันทางด้านรับความร้อนมีค่าน้อยกว่า เนื่องจากฮีตเตอร์ที่ได้พัฒนาขึ้นมาใหม่มีรูที่เล็กสารทำงานที่ไหลผ่าน

เกิดความดันลด นอกจากนี้ยังพบความต่างของมุมเฟสของความดันทางด้านรับความร้อนและทางด้านระบายความร้อนของรีเจนเนอเรเตอร์และมีความต่างเพิ่มขึ้นเมื่อเพิ่มความเร็วรอบให้กับชุดทดสอบดังที่แสดงในรูปที่ 4 ซึ่งเรียกปรากฏการณ์เรียกว่าการเคลื่อนเฟสของความดัน และผลการทดลองการเคลื่อนที่แบบไหลกลับไปกลับมาที่มีความดันเปลี่ยนแปลงแบบเป็นคาบที่ได้ยังไปสอดคล้องกับผลการทดลองของ Num and Joueg [10,20] คือการเคลื่อนที่แบบไหลกลับไปกลับมาที่มีความดันเปลี่ยนแปลงแบบเป็นคาบ

4.2 สมการความสัมพันธ์สัมประสิทธิ์แรงเสียดทานการไหล และตัวแปร Breathing factor

จากการทดลองจะได้ข้อมูลค่าอัตราการไหลและความดันลดในแต่ละช่วงความเร็วรอบของรีเจนเนอเรเตอร์ที่มีค่าความพรุนเท่ากับ 0.95 และจากแนวโน้มที่แสดงไว้โดย Num and Joueg [5,8] ทำให้สามารถสร้างชุดข้อมูลที่ใช้สำหรับสร้างชุดสมการความสัมพันธ์สัมประสิทธิ์แรงเสียดทานการไหลแบบกลับไปกลับมา สัมประสิทธิ์แรงเสียดทานการไหลแบบกลับไปกลับมาเฉลี่ยและค่าตัวแปร Breathing factor โดยสมการที่สร้างขึ้นนั้น จะใช้ค่าวาลวนซีนัมเบอร์ในช่วง 0.01-0.1 ค่าเรโนลด์นัมเบอร์ในช่วง 1000-9000

4.2.1 สมการความสัมพันธ์ของสัมประสิทธิ์แรงเสียดทานการไหลแบบกลับไปกลับมาที่ทางเข้าด้านให้ความร้อน (Hot end)

$$f_{osc1} = \frac{1}{Va^{0.65}} \left(\frac{598.97}{\varepsilon_1} - 16.595 \right)$$

เมื่อ $13 \leq Va \leq 69$, $6 \leq \varepsilon_1 \leq 10.7$

โดยที่ f_{osc1} คือ สัมประสิทธิ์แรงเสียดทานการไหลแบบกลับไปกลับมา

ε คือ อัตราส่วนขยาย

Va คือ วาลวนซีนัมเบอร์

4.2.2 สมการความสัมพันธ์ของสัมประสิทธิ์แรงเสียดทานการไหลแบบกลับไปกลับมาเฉลี่ย

$$f_{oscm} = \frac{1}{Va^{0.65}} \left(\frac{151.38}{\varepsilon_m} + 34.829 \right)$$

เมื่อ $13 \leq Va \leq 69, 12 \leq \varepsilon_m \leq 20$

โดยที่ f_{osc} คือ สัมประสิทธิ์แรงเสียดทานการไหลแบบกลับไปกลับมาเฉลี่ย

ε คือ อัตราส่วนขยายเฉลี่ย

Va คือ วาเลนซีนมเบอร์

4.2.3 สมการความสัมพันธ์ของ Breathing factor

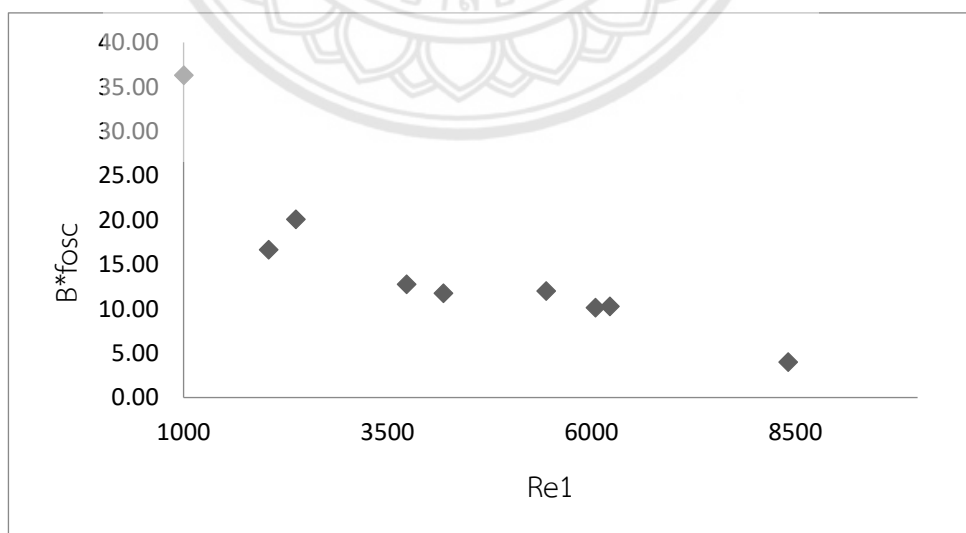
$$B = \frac{1}{f_{osc1}} \left(\frac{32302}{Re_1} + 3.99 \right)$$

เมื่อ $1000 \leq Re_1 \leq 9000$

โดยที่ B คือ Breathing factor

Re_1 คือ เรโนลด์นัมเบอร์ที่ด้านร้อนของรีเจนเนอเรเตอร์

สามารถแสดงกราฟสมการความสัมพันธ์ดังกล่าวของรีเจนเนอเรเตอร์ที่ใช้สแตนเลสสตีลบาง มีค่าความพรุนเท่ากับ 0.95 จะ ได้ดังรูปที่ 4.2



รูปที่ 4.2 กราฟแสดงความสัมพันธ์ของสัมประสิทธิ์แรงเสียดทานการไหลที่ทางด้านรับความร้อน และตัวแปร Breathing factor เมื่อเทียบกับค่าเรโนลด์นัมเบอร์

4.3 การประยุกต์ใช้สมการความสัมพันธ์ที่ได้จากการทดลองร่วมกับแบบจำลอง คณิตศาสตร์แบบ Quasi steady flow

นำสมการความสัมพันธ์ที่พัฒนาขึ้นไปใช้ร่วมกับแบบจำลองทางคณิตศาสตร์ลำดับที่สองของเครื่องยนต์สเตอร์ลิงเพื่อใช้ในการเปรียบเทียบกับค่าสมรรถนะของเครื่องยนต์ทำงานที่อุณหภูมิแตกต่างกันที่พัฒนาโดย บัญชา คังตระกูล [21] ซึ่งให้การทำนายค่ากำลังเพลลา ดังตารางที่ 4.1

ตารางที่ 4.1 แสดงการเปรียบเทียบผลการทำนายค่ากำลังเพลลาของแบบจำลองทางคณิตศาสตร์

Results	Experiment [21]	Kraitong [2]	Developed Oscillating flow model
Brake power (W)	0.969	1.117	0 (-1.19)

จากตารางที่ 4.1 พบว่า ค่ากำลังเพลลาที่ได้จากแบบจำลองทางคณิตศาสตร์ที่คำนึงถึงผลการเปลี่ยนแปลงความดันและคาบเวลาในรีเจนเนอเรเตอร์ร่วมกับการใช้สมการความสัมพันธ์ของค่าสัมประสิทธิ์ความเสียหายภายใต้การไหลแบบกลับไปกลับมาที่ได้จากงานวิจัยนี้ให้ค่ากำลังเพลลาติดลบ นั่นหมายถึงเครื่องยนต์ไม่สร้างงานในสภาวะการทำงานมีค่ากำลังเท่ากับศูนย์ จากการวิเคราะห์ค่าตัวแปรต่างๆที่ได้จากการทำนายพบว่าค่าความดันลดมีค่าสูง ส่งผลให้ค่ากำลังจากลูกสูบกำลังมีค่าน้อยกว่าค่ากำลังจากดิสเพลสเซอร์ ซึ่งเมื่อเปรียบเทียบกับผลการทดสอบสมรรถนะของเครื่องยนต์สเตอร์ลิงที่ได้ถูกทำโดย บัญชา คังตระกูล [21] พบว่ามีความแม่นยำในการทำนายค่ากำลังเพลลาของเครื่องยนต์สเตอร์ลิงที่น้อยกว่าผลการทำนายที่ได้จากแบบจำลองทางที่นำเสนอโดย Kraitong [2] ซึ่งอาจมาจากสาเหตุของการใช้สมการความสัมพันธ์ของค่าสัมประสิทธิ์ความเสียหายภายใต้การไหลแบบกลับไปกลับมาเพื่อใช้ทำนายสภาวะการทำงานของเครื่องยนต์สเตอร์ลิงที่พัฒนาโดย บัญชา คังตระกูล [21] ที่มีค่าเรโนล์ด์นัมเบอร์ประมาณ 30 ซึ่งอยู่นอกช่วงของค่าเรโนล์ด์นัมเบอร์ในสมการความสัมพันธ์ที่พัฒนาขึ้นในโครงการนี้

ดังนั้นอาจสามารถสรุปได้ว่า ในการประยุกต์ใช้ชุดสมการความสัมพันธ์ของค่าสัมประสิทธิ์ความเสียหายภายใต้การไหลแบบกลับไปกลับมาที่ได้จากงานวิจัยนี้ในการทำนายค่ากำลังเพลลาของเครื่องยนต์สเตอร์ลิงที่ทำงานภายใต้ความแตกต่างอุณหภูมิเท่านั้น จำเป็นต้องพิจารณาถึงช่วงค่าเรโนล์ด์นัมเบอร์ของเครื่องยนต์ที่ควรต้องสอดคล้องกับช่วงของค่าเรโนล์ด์นัมเบอร์ในสมการความสัมพันธ์ที่พัฒนาขึ้นในโครงการนี้

บทที่ 5

บทสรุป

5.1 สรุปผลการวิจัย

จากการวิจัยสามารถสรุปผลการทำงานเป็นสองส่วนดังนี้

5.1.1 ชุดสมการความสัมพันธ์

ผลการทดสอบการไหลแบบกลับไปกลับมาในรีเจนเนอเรเตอร์ด้วยชุดทดสอบรีเจนเนอเรเตอร์สามารถสร้างสมการความสัมพันธ์ของรีเจนเนอเรเตอร์ชนิดแถบโลหะบาง ดังนี้

สมการความสัมพันธ์ของสัมประสิทธิ์แรงเสียดทานการไหลแบบกลับไปกลับมาที่ด้านให้ความร้อนของรีเจนเนอเรเตอร์

$$f_{osc1} = \frac{1}{Va^{0.65}} \left(\frac{598.97}{\varepsilon_1} - 16.595 \right)$$

เมื่อ $13 \leq Va \leq 69$, $6 \leq \varepsilon_1 \leq 10.7$

สมการความสัมพันธ์ของสัมประสิทธิ์แรงเสียดทานการไหลแบบกลับไปกลับมาเฉลี่ย

$$f_{oscm} = \frac{1}{Va^{0.65}} \left(\frac{151.38}{\varepsilon_m} + 34.829 \right)$$

เมื่อ $13 \leq Va \leq 69$, $12 \leq \varepsilon_m \leq 20$

สมการความสัมพันธ์ของ Breathing factor

$$B = \frac{1}{f_{osc1}} \left(\frac{32302}{Re_1} + 3.99 \right)$$

เมื่อ $1000 \leq Re_1 \leq 9000$

5.1.2 การประยุกต์ใช้สมการความสัมพันธ์ที่ได้จากการทดลองร่วมกับแบบจำลองคณิตศาสตร์แบบ Quasi steady flow

พบความผิดพลาดในการใช้ทำนายค่าความดันลด ซึ่งส่งผลต่อค่าการทำนายกำลังเพลลาของเครื่องยนต์ที่ต่ำกว่าเมื่อเปรียบเทียบกับผลการทดสอบสมรรถนะของเครื่องยนต์สเตอร์ลิงทำงานที่ความแตกต่างอุณหภูมิต่ำ ซึ่งอาจมาจากสาเหตุของการใช้สมการความสัมพันธ์ของค่าสัมประสิทธิ์ความเสียดทานภายใต้การไหลแบบกลับไปกลับมาเพื่อใช้ทำนายสภาวะการทำงานของเครื่องยนต์สเตอร์ลิง ที่ทำงานนอกช่วงของค่าเรโนลด์นัมเบอร์ในสมการความสัมพันธ์ที่พัฒนาขึ้น

ดังนั้นในการประยุกต์ใช้ชุดสมการความสัมพันธ์ของค่าสัมประสิทธิ์ความเสียดทานภายใต้การไหลแบบกลับไปกลับมาที่ได้จากงานวิจัยนี้ในการทำนายค่ากำลังเพลลาของเครื่องยนต์สเตอร์ลิงที่ทำงานภายใต้ความแตกต่างอุณหภูมิต่ำนั้น จำเป็นต้องพิจารณาถึงช่วงค่าเรโนลด์นัมเบอร์ของเครื่องยนต์ที่ควรต้องสอดคล้องกับช่วงของค่าเรโนลด์นัมเบอร์ในสมการความสัมพันธ์ที่พัฒนาขึ้นในโครงการนี้

5.2 ข้อเสนอแนะ

การพัฒนาแบบจำลองคณิตศาสตร์ของเครื่องยนต์สเตอร์ลิงทำงานที่ความแตกต่างอุณหภูมิต่ำ เพื่อให้ได้แบบจำลองที่สามารถทำนายสมรรถนะของเครื่องยนต์ที่คืนั้น มีข้อเสนอแนะดังนี้

5.2.1 ควรมีการเปลี่ยนมุมเฟสของลูกสูบที่หลากหลายมุมยิ่งขึ้น ให้ได้ข้อมูลทางการทดลองที่ครอบคลุม จนค่าความแม่นยำในการทำนายสมรรถนะของเครื่องยนต์สเตอร์ลิงมีค่าใกล้เคียงกับการทำงานจริงมากยิ่งขึ้น

5.2.2 ควรใช้วัสดุพูนในรีเจนเนอเรเตอร์ที่มีค่าความพูนที่หลากหลาย เพื่อให้ได้ข้อมูลทางการทดลองที่ครอบคลุมการพัฒนาแบบจำลองคณิตศาสตร์มากยิ่งขึ้น

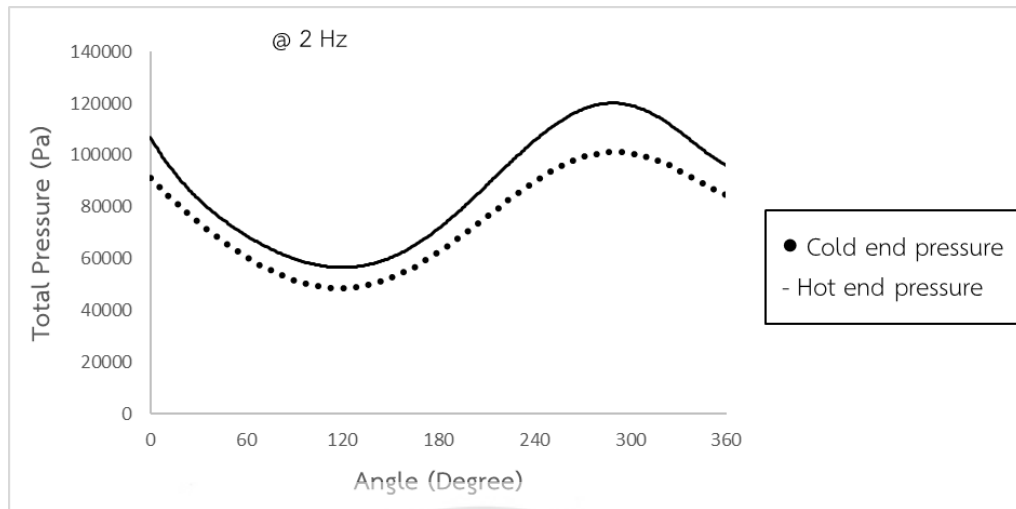
5.2.2 ควรทำการเปรียบเทียบกับเครื่องยนต์สเตอร์ลิงในช่วงค่าเรโนลด์นัมเบอร์อื่นๆ

เอกสารอ้างอิง

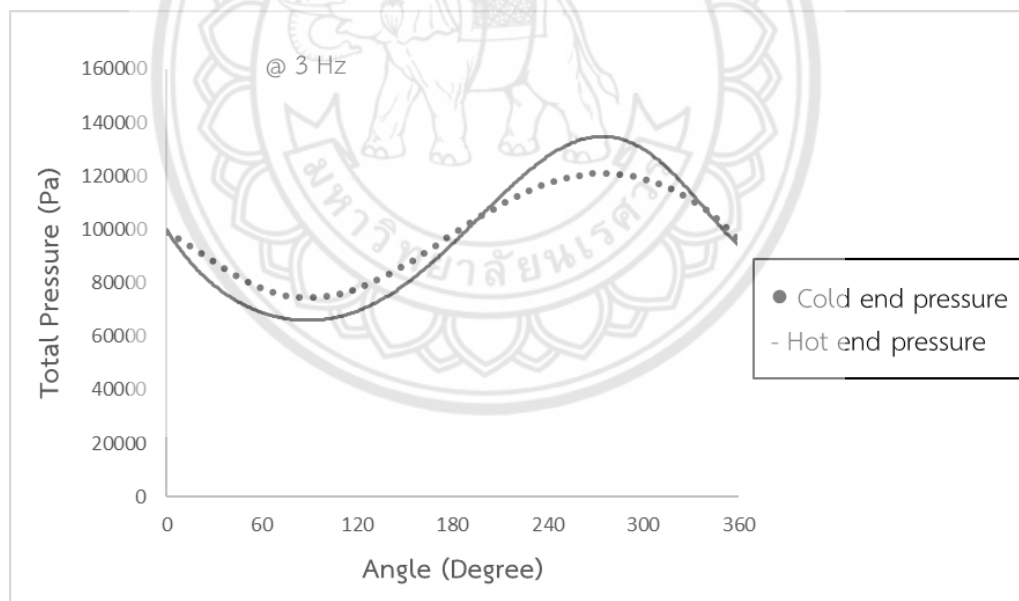
- [1] ข้อมูลการใช้พลังงาน. สืบค้นเมื่อ 31 ตุลาคม 2561, 0kd
https://drive.google.com/file/d/1WcNsEWr93CmhqQpMJMVbdHRNaQVwr_d4/view?fbclid=IwAR21jERGOTOlaOqK0DNA6OfedWo0Nv15HfHkHGAP0bgu-iDKwHPXs7qgsU
- [2] K. Kraitong. Numerical modelling and design optimisation of Stirling engines for power production. PhD Thesis (2012). School of Computing, Engineering and Information Sciences, University of Northumbria at Newcastle.
- [3] The different types of Stirling. สืบค้นเมื่อ 31 ตุลาคม 2561
<http://magicalmachines.weebly.com/the-stirling-cycle-engine.html>
- [4] Stirling cycle. สืบค้นเมื่อ 31 ตุลาคม 2561, จาก
http://en.wikipedia.org/wiki/Stirling_cycle
- [5] K. Hirata. Analysis of Stirling engine. Available at.
<https://www.nmri.go.jp/eng/khirata/stirling/kiriki/analysis/index.html> (accessed on 2 November 2018).
- [6] M. Tanaka, I. Yamashita, F. Chisaka. Flow and Heat Transfer Characteristics of the Stirling Engine Regenerator in an Oscillating Flow. *JSME international journal, Ser. 2, Fluids engineering, heat transfer, power, combustion, thermophysical properties*, 33 (1990):283-289.
- [7] M. B. Ibrahim and R. C. Tew, Jr. (2012). Stirling converter regenerator, 29-31, 269.
- [8] N. Khiaonoi, K. Kraitong. Quasi steady flow mathematical model of a stirling engine with consideration of oscillating flow in the regenerator. *Proceedings of the 17th International Stirling Engine Conference and Technology Exhibition. 2016 August 24-26; Newcastle, UK; 2016, :384-94.*
- [9] S. Choi, K. Nam, S. Jeong. Investigation on the pressure drop characteristics of Cryocooler regenerators under oscillating flow and pulsating. *Cryogenics* (2004), 44:203-210.
- [10] K. Nam, S. Jeong. Novel flow analysis of regenerator under oscillating flow with pulsating pressure. *Cryogenics* (2005), 45:368-379.
- [11] K. Nam, S. Jeong. Investigation of oscillating flow friction factor for Cryocooler regenerator considering cryogenic temperature effect. *Cryogenics* (2005),45:733-738.
- [12] K. Mahkamov. Stirling Engine Based Micro-Energy Systems. In: R. Beith, I.P. Burdon, M. Knowles (Eds.). *Micro-Energy Systems*. John Wiley & Sons (2004), :101-144.

- [13] ณัฐกุล เจียมศักดิ์, ประเมษฐ์ จันทร์ตัน, พิสิฐ เอี่ยมสอาด (2560) การหาค่าสัมประสิทธิ์ความเสียดทานภายใต้การไหลแบบกลับไปกลับมาในรีเจนเนอเรเตอร์ของเครื่องยนต์สเตอร์ลิง วิทยานิพนธ์ วศ.ม., มหาวิทยาลัยนเรศวร, พิษณุโลก
- [14] Stirling cycle. สืบค้นเมื่อ 31 ตุลาคม 2561, จาก <https://th.wikipedia.org/wiki/>
- [15] อิศเรศ ชูชกัลยา. เครื่องยนต์วัฏจักรสเตอร์ลิง. สืบค้นเมื่อ 31 ตุลาคม 2561 จาก http://somsak.me.engr.tu.ac.th/download/The%20Stirling%20Cycle%20Engine_TH.pdf?fbclid=IwAR2U6UEVh6vX0fKS0rO6DvOMWxZqpMY150hB66-SHt-7SYch21gUMK5f8LE
- [16] J.N. Libii. (2013). A Method of Evaluating the Presence of Fan-Blade-Rotation Induced Unsteadiness in Wind Tunnel Experiments. Wind Tunnel Designs and Their Diverse Engineering Applications, 218.
- [17] M. B. Ibrahim and R. C. Tew , Jr. (2012). Stirling converter regenerator, 29-31, 269.
- [18] K. Nam and S. Jeong. (2003). Measurement of cryogenic regenerator characteristics under oscillating flow and pulsating pressure. Cryogenics, 43, 575-581.
- [19] B. Kongtragool, S. Wongwises. Performance of a twin power piston low temperature differential Stirling engine powered by a solar simulator. Solar Energy, 81 (2007):884-895.
- [20] S. Choi, K. Nam, S. Jeong. Investigation on the pressure drop characteristics of Cryocooler regenerators under oscillating flow and pulsating. Cryogenics (2004), 44:203-210.
- [21] บัญชา คังตระกูล การพัฒนาต้นแบบเครื่องยนต์สเตอร์ลิงแบบลูกสูบกำลังทำงานสองด้าน งานวิจัย วศ.ม., มหาวิทยาลัยศรีนครินทรวิโรฒ องค์กรักษ์





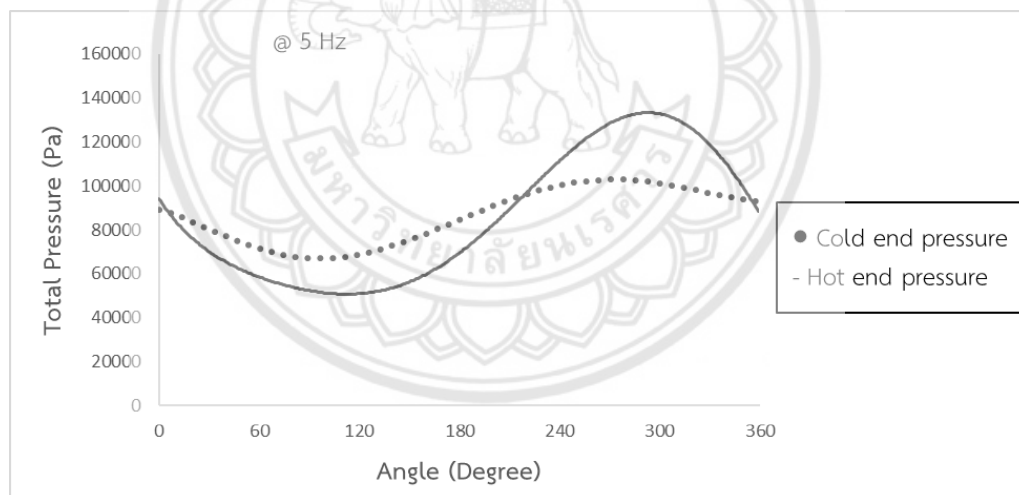
รูปที่ ก1 แสดงกราฟข้อมูลการเปลี่ยนแปลงความดันของสารทำงานที่ด้านรับความร้อนและทางด้านระบายความร้อนของรีเจนเนอเรเตอร์ ใช้แถบโลหะบาง ที่ความเร็วรอบ 2 Hz



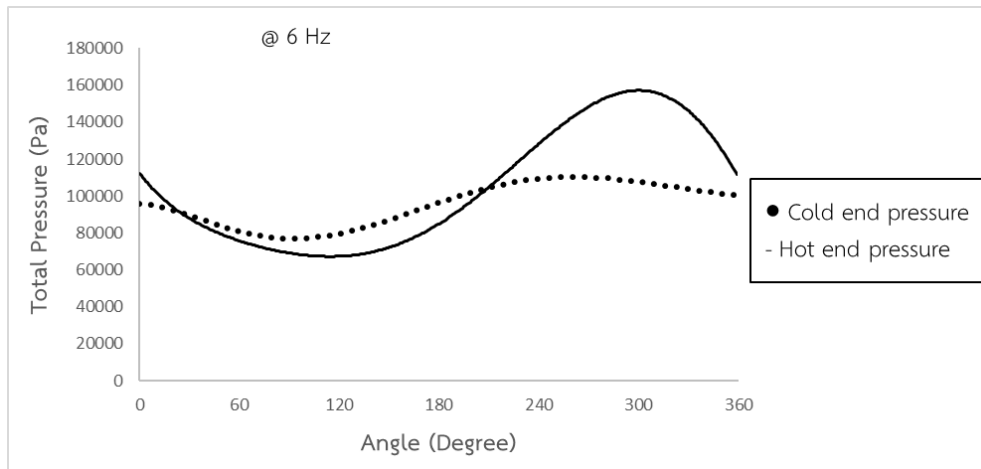
รูปที่ ก2 แสดงกราฟข้อมูลการเปลี่ยนแปลงความดันของสารทำงานที่ด้านรับความร้อนและทางด้านระบายความร้อนของรีเจนเนอเรเตอร์ ใช้แถบโลหะบาง ที่ความเร็วรอบ 3 Hz



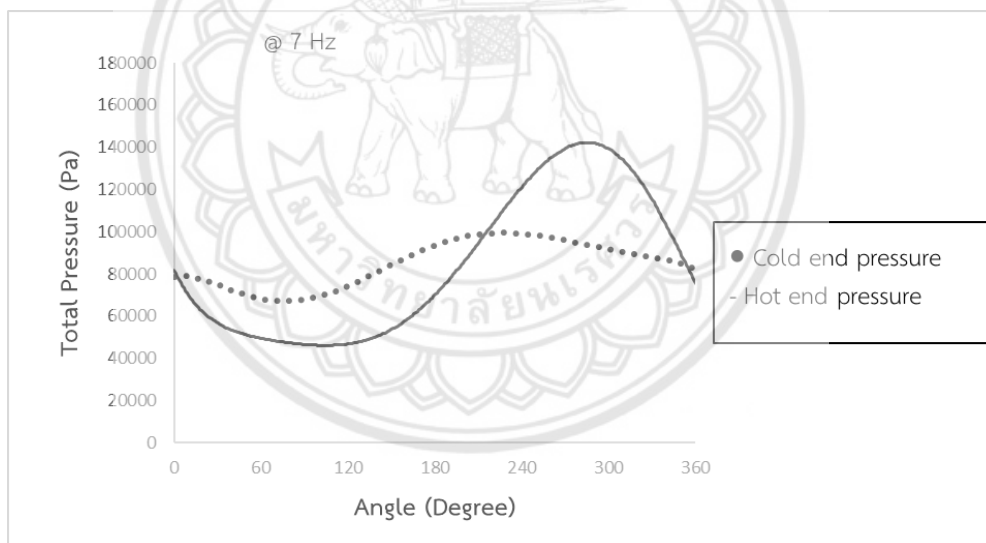
รูปที่ ก3 แสดงกราฟข้อมูลการเปลี่ยนแปลงความดันของสารทำงานที่ด้านรับความร้อนและทางด้านระบายความร้อนของรีเจนเนอเรเตอร์ ใช้แก๊บโลหะบาง ที่ความเร็วรอบ 4 Hz



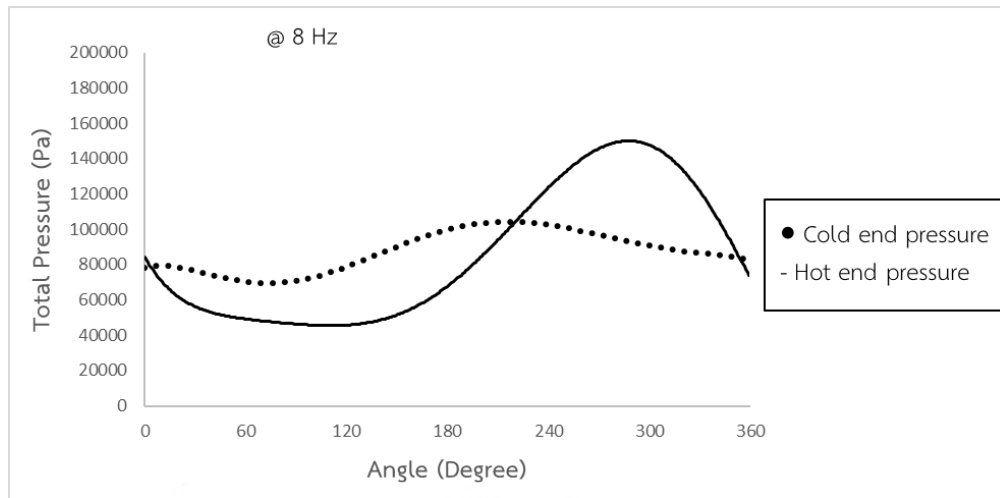
รูปที่ ก4 แสดงกราฟข้อมูลการเปลี่ยนแปลงความดันของสารทำงานที่ด้านรับความร้อนและทางด้านระบายความร้อนของรีเจนเนอเรเตอร์ ใช้แก๊บโลหะบาง ที่ความเร็วรอบ 5 Hz



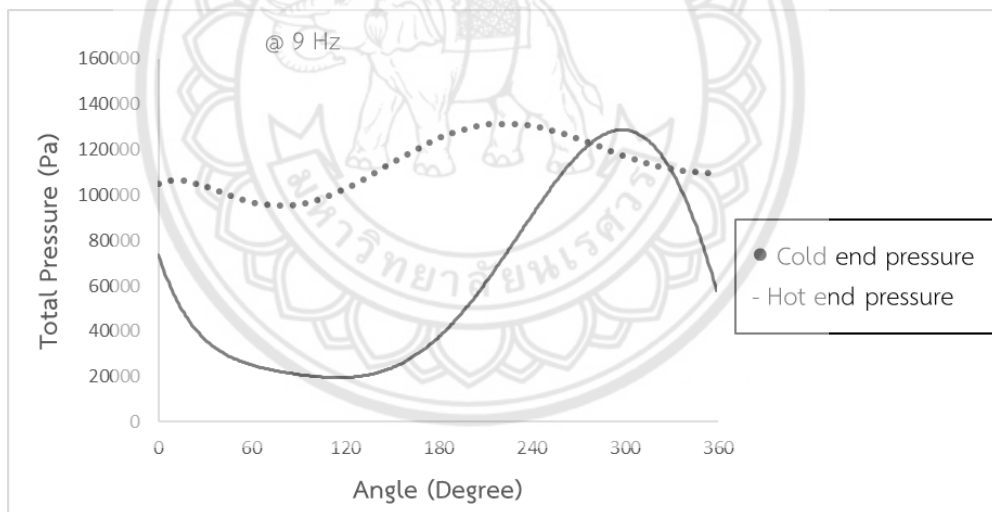
รูปที่ ก5 แสดงกราฟข้อมูลการเปลี่ยนแปลงความดันของสารทำงานที่ด้านรับความร้อนและทางด้านระบายความร้อนของรีเจนเนอเรเตอร์ ใช้แถบโลหะบาง ที่ความเร็วรอบ 6 Hz



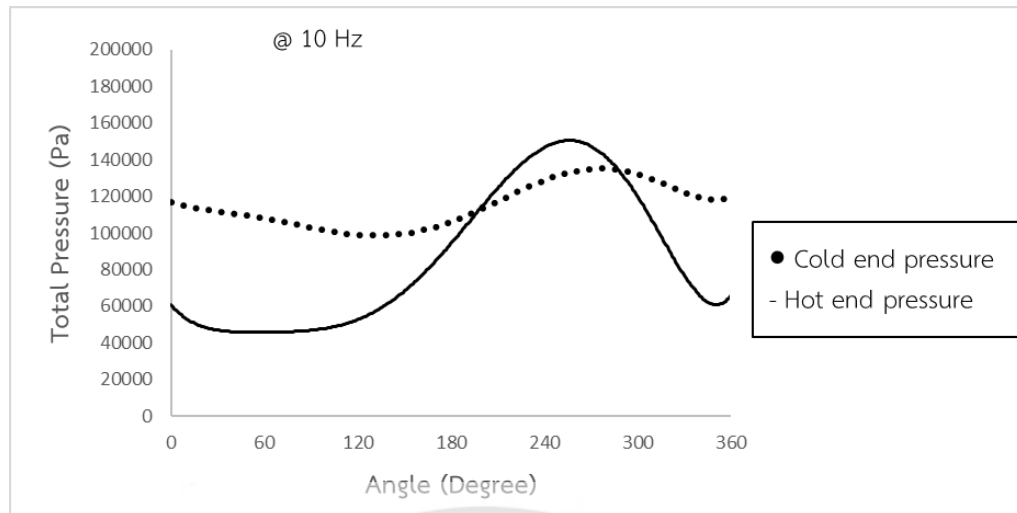
รูปที่ ก6 แสดงกราฟข้อมูลการเปลี่ยนแปลงความดันของสารทำงานที่ด้านรับความร้อนและทางด้านระบายความร้อนของรีเจนเนอเรเตอร์ ใช้แถบโลหะบาง ที่ความเร็วรอบ 7 Hz



รูปที่ ก7 แสดงกราฟข้อมูลการเปลี่ยนแปลงความดันของสารทำงานที่ด้านรับความร้อนและทางด้านระบายความร้อนของรีเจนเนอเรเตอร์ ใช้แถบโลหะบาง ที่ความเร็วรอบ 8 Hz



รูปที่ ก8 แสดงกราฟข้อมูลการเปลี่ยนแปลงความดันของสารทำงานที่ด้านรับความร้อนและทางด้านระบายความร้อนของรีเจนเนอเรเตอร์ ใช้แถบโลหะบาง ที่ความเร็วรอบ 9 Hz



รูปที่ ก9 แสดงกราฟข้อมูลการเปลี่ยนแปลงความดันของสารทำงานที่ด้านรับความร้อนและทางด้านระบายความร้อนของรีเจนเนอเรเตอร์ ใช้แก๊บโลหะบาง ที่ความเร็วรอบ 10 Hz





ชื่อ นายอัคนีรุทธิ์ ภาลัย

ภูมิลำเนา 119 ม.7 ต.ทุ่งกล้วย อ.ภูซาง จ.พะเยา

ประวัติการศึกษา

- จบระดับมัธยมศึกษาจากโรงเรียนภูซางวิทยาคม
- ปัจจุบันกำลังศึกษาในระดับปริญญาตรีชั้นปีที่ 4 สาขาวิศวกรรมเครื่องกล คณะวิศวกรรมศาสตร์ มหาวิทยาลัยนเรศวร

E-mail aukkaneerutp58@email.nu.ac.th

